

Schola: **strojní a textilní Liberec** Katedra: **obrábění a organizace**
Fakulta: **strojní** Školní rek.: **1964/65**

DIPLOMNÍ ÚKOL

pro Jiřího Václava
obor strojírenská technologie

Protože jste splnil požadavky učebního plánu, zadává Vám vedoucí katedry ve smyslu směrnice ministerstva školství a kultury o státních závěrečných zkouškách tento diplomní úkol:

Název thematu: **Ověřovací zkoušky pevných závitových spojů**

v bloku motoru 1000 MB

Pravidly pro vypracování:

- 1) V politicko-hospodářském zdůvodnění rozvedte ekonomickou efektivnost zavedení pevných závitových uložení.
- 2) Proveďte přehled dosud používaných způsobů pevných závitových spojů a vymezte oblast jejich použití.
- 3) Nevrhněte zkušební zařízení pro strojní zatahování kroužků do bloku motoru umožňující současné měření zatahovacích momentů.
- 4) Nevrhněte způsob výpočtu napětí vznikajících při pevném závitovém spojení.
- 5) S nevrženým zařízením provedte zkoušky zatahování na částech bloku motoru. Neměřené hodnoty porovnejte s výpočtem.
- 6) Ekonomicky zhodnotte nevržené způsoby pevných závitových spojů.

Autorské právo se řídí směrnicemi MŠK pro státní závěrečné zkoušky č. j. 31 727/62-III/2 ze dne 13. července 1962-Věstník MŠK XVIII, sestř 24 ze dne 31.8.1962 § 19 autorského zákona č. 115/53 Sb.

TISKÁ SKLAJ SPPAT I. HECTRA
Úřední knihovna
LIBERECKÁ ZAPOSLOVNA

N 125/65 S

Rozsah grafických laboratorních prací: 6 - 8 schemat

Rozsah průvodní zprávy: 40 stran

Seznam odborné literatury:

AZMP: Zpráva o zkoušce závrtých šroubů - odděl. normalizace a. Hudík

GOST: Rezba metričeské je snadné

Normalizace: články v č. 8/1962, 9/1964

Vedoucí diplomní práce: Doc. Ing. Jaroslav Drásky

Konsultanti:
Jaroslav Jágr, prom. ekonom.
Ing. Jan Řehořek
Josef Hudík

Datum zahájení diplomní práce: 26. října 1964

Datum odevzdání diplomní práce: 12. prosince 1964

L. S.

v 2. řadě

Vedoucí katedry

Děkan

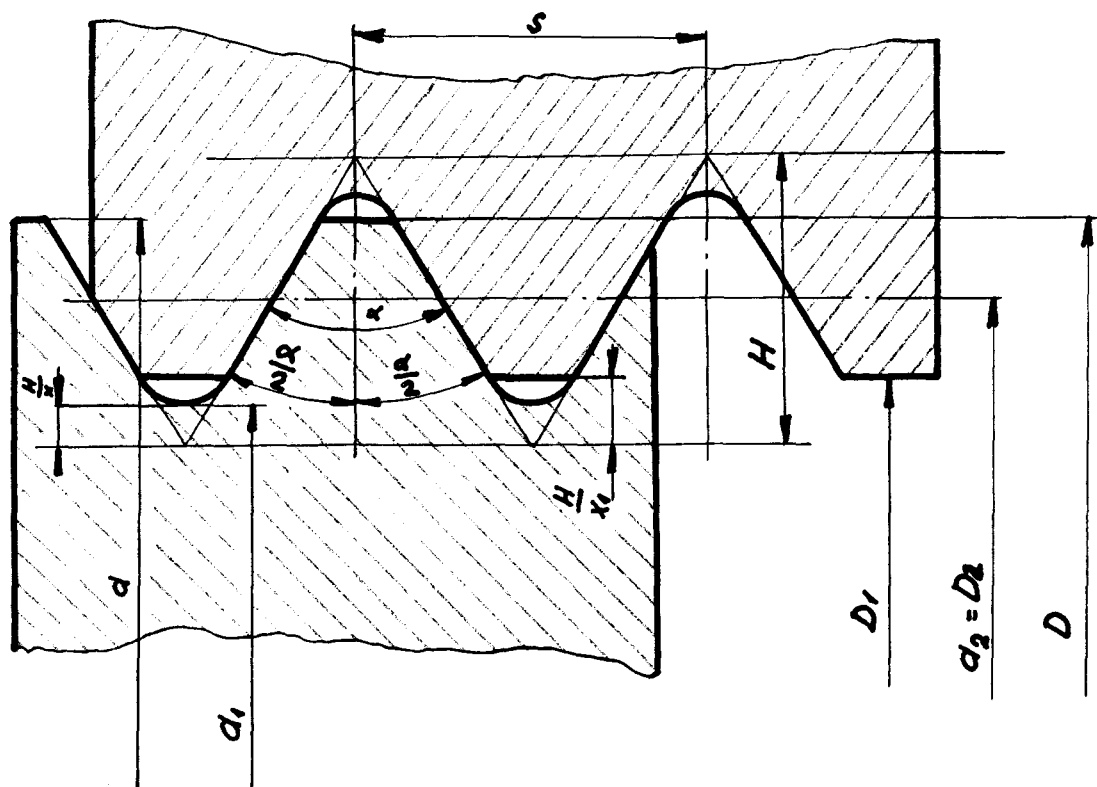
V

Liberec

24.I.

19.64

| | | |
|--|---|--------------|
| VŠST v Liberci | Cvěřovací zkoušky pevných závitových spojů v bloku motoru 1000 MB | DP - ST - 9 |
| | | 12. 12. 1964 |
| | Listů: 89 | List: 1 |
| <u>Úvod</u> | | |
| <p>Předpokladem zajištění zásad socializmu je neustálé zvyšování životní úrovně obyvatelstva. Toto zajišťuje v první řadě prudký rozvoj všech výrobních odvětví národního hospodářství, který však značně zvyšuje i nároky na celý průmysl. Dosažení vysokého tempa produktivity práce při zajišťování zvyšování životní úrovně lidí, kam patří i odstraňování namáhavé lidské práce a snižování pracovní doby, vede k zavádění co největší mechanizace a automatizace. Tento cestou naše národní hospodářství směruje při centralisaci výrobních celků, kde je možno automatizaci provést v co největší míře. Letecký a automobilový průmysl cestou automatizace zvyšuje svou výrobu. Příkladem automatizace výroby mohou být Automobilové závody národní podnik v Mladé Boleslavi, kde nově vybudovaný závod funguje zatím ve zkušebním provozu.</p> | | |
| <p>Závitového spojení je snad použito u každého výrobku. Mechanizací procesů se od ručního utahování šroubů a matic přechází k utahování strojněmu.</p> | | |
| <p>Pevné závitové spoje používané nejčastěji v průmyslu automobilovém, leteckém a energetice, jsou pro strojní utahování stále ještě ve stádiu zkoušek. Požadavek dosti vysoké přesnosti vyrobených šroubů a matic ovlivňuje technologičnost jejich výroby a hlavně kontroly. Proto jsou prováděna zkoumání použití větších tolerancí.</p> | | |
| <p>Při dosavadních měřeních bylo používáno různých mechanických měřidel sestrojených na principu různých momentových klíčů a torsních tyčí pro ruční zatahování.</p> | | |
| <p>Tyto metody se nepřibližují běžně používanému strojnemu utahování a výsledky měření jsou tím ovlivněny.</p> | | |
| <p>Předmětem diplomní práce je navrhnut zkušební zařízení, které by se co nejvíce přiblížovalo běžně používanému zatahování pomocí utahovacích hlav. Zároveň je nutné navrhnut i způsob měření zatahovacích momentů, které by nebylo ovlivněno způsobem práce pracovníka. Čtení hodnot zajistit ze záznamů, aby se co nejvíce snížila, po případě úplně odstranila relativní chyba.</p> | | |

Názvosloví

| | označení | pojmenování | běžné hodnoty |
|--------|--------------------|------------------------------|-------------------------|
| šroub | d | velký \varnothing šroubu | |
| | d_1 | malý \varnothing šroubu | |
| | d_2 | střední \varnothing šroubu | |
| | $\frac{H}{X}$ | okos závitu šroubu | $\frac{H}{6}$ |
| matice | D | velký \varnothing matice | |
| | D_1 | malý \varnothing matice | |
| | D_2 | střední \varnothing matice | |
| | $\frac{H}{X} 1$ | okos matice | $\frac{H}{4}$ |
| | S | stoupání | |
| | H | celková výška profilu | |
| | r | půlomer zaoblení | $\frac{H}{6} = 0,144 S$ |
| | α | úhel profilu závitu | 60° |
| | $\frac{\alpha}{2}$ | poloviční úhel profilu | 30° |
| | | | |

Hospodářské zdůvodnění řešení pevných
závitových spojů

Pevné závitové spoje jsou ve strojírenství stále častějším spojením. K jejich zavádění konstruktéry privádí jednoduchost při řešení tvaru výrobku, který se jejich použitím oprostí od různých výstupků a osazení. V mnoha případech není ani možné použít přídavné matice pro neprístupnost konce šroubu, či pro dodržení rovinnosti dosedací plochy.

Význam pevných závitových spojů se značně rozrostl používáním nových slitin ve strojírenství. Zvláštní kapitolu zaujmají závrtné šrouby při používání slitin titanu a žárupevných slitin v energetice a raketové technice. Běžně používané materiály pro pevné závitové spoje /ocelový šroub + slitiny Al, litina, běžná ocel/ nevykazovaly tak značné potíže, jaké se vyskytuji při použití žárupevných a titanových slitin.

Celkově však doposud používané pevné závitové spoje postrádaly ucelení a sjednocení. Výrobci se zabývali řešením problému jednotlivě, bez jakéhokoliv usměrnění normou. Normy ČSN obsahují přechodné závitové spojení pro jednotlivé matice SH 4 a pro šrouby s tolerancí Sr 2 při válcovaném závitu a Sr 3 při závitu řezaném /ČSN Cl 14321/. Tato závitová spojení se používají v praxi jako pevné spoje i když se jedná o uložení přechodné, které nezarušuje jednoznačně zádaný přesah. Šrouby dle ČSN Cl-4321 s přesahem v toleranci SH 4/Sp 2 a SH4/Sp 3 nalezly v praxi uplatnění jen v malé míře. Pevného spoje SH3/Sr2, doporučovaného normou ČSN Cl 4322, se v praxi nepoužívá pro příliš malé tolerance závitu matice.

Úkolem technické normalizace bude shrnovat veškeré požadavky konstrukční nutnosti, porovnat s technologickými možnostmi výroby a doposud používané normy revidovat. Má-li norma plnit svůj účel, musí být běžně používaná. Norma, která se zanedbává, ztrácí svůj význam, je mrtvá a přestává plnit účel normy. Přechod závodu na navržené normy se setká s mnoha obtížemi, které bude nutno překonat. Obtíže musí být vyváženy přinosem nových norem.

Nové nástroje nebude možno získat upravením starých, které bude nutno zachovat pro výrobu náhradních dílů k výrobkům produkovaným před změnou normy. Veškeré nářadí bude nutno vyrobit nové. Taktéž nebude možno uskutečnit opravu měřidel a je nezbytné počítat s jejich výrobou. Toto všechno bezpodmínečně ovlivní prostory potřebné pro skladování, tj. výdejen nářadí a skladů, po případě nářadoven pro výrobu měřidel nevyráběných sériově. Zároveň je nutno počítat se zvětšením skladovacích prostorů u závodů vyrábějících nářadí, které musí mít vyrobený dostatečný počet nářadí před zavedením změny. Musí být zabezpečena možnost postupného zavádění nových druhů spojení u všech používatelů současně. Tím se předejdě komplikacím, které by mohly vzniknout používáním rozdílných závitníků u různých výrobců.

Vhodný přechod výroby a výměny závitového nářadí je plánován pro zavádění nových metrických závitů v ČSN dle doporučení ISO.

S umrtvováním jednotlivých starých typů strojů je nutno plánovat zvyšování výroby nových typů, aby nenastal případ, kdy by skladovací prostory zůstaly nevyužity.

Úprava závitových spojů na mezinárodní úrovni probíhá v mezinárodní organizaci ISO a v komisi pro standardizaci technických norm zemí RVHP.

Ve spolupráci se socialistickými zeměmi pracuje v ČSSR stálá komise, která prapraco-vává otázku "Lícování metrického závitu pevného uložení". Vypracování se provádí v ná-vaznosti na schválený návrh ISO - R68.

V mezinárodní organizaci ISO se jednání pevných závitových spojů zatím nedotýká.

V současné době je na programu řešení úkolů vybudování mezinárodní soustavy tolerancí šroubů s trojúhelníkovým závitovým profilem. Hlavním požadavkem je, aby nová toleranční soustava byla pouzitelná jak pro metrické, tak i pro palcové závity. O této otázce pojednávají tři návrhy doporučené ISO :

- č. 297 - rozsah metrických závitů 0,25-300 mm s profilem ISO
- č. 298 - rozsah metrických závitů 6 - 39 mm s profilem ISO
- č. 362 - rozsah palcových závitů 0,06 - 6 mm s profilem ISO

Používané způsoby pevných závitových uloženía/ Zajištování závitových spojů

Zajištování šroubů nelze uvažovat jako pevné závitové spojení. V podstatě se jedná o případ zajištění šroubu proti uvolnění. Toto pojištění možno dělit:

1/ Pojištění deformací zataženého závitu šroubu

Tato deformace je však právě na závadu, neboť znemožňuje vyměnitelnost šroubu. Povolením spoje nastává úplné zničení závitu matice. V praxi se tohoto spojení běžně nepoužívá. Jednotlivé případy možno zajištovat tímto způsobem jen tehdy, jedná-li se o hrubý spoj, nevyžadující přesnost.

2/ Pojištění spoje mechanickým jištěním

Jako pojistek se používá příčných šroubů, kolíků, závlaček. Každé toto spojení vyžaduje uváděné jistící dílce, čímž cena spce se zvýší. Bez ohledu na cenu, je toto jištění pouze částečné. Vyhovuje pouze pro statická namáhání; při dynamických namáháních přestává již bezpečně plnit svoji funkci.

b/ Vlastní pevné závitové uložení

1/ Lepený spoj. Pevného závitového spojení je možno dosáhnout lepením. Spoje bezpečně vychovuje statickému namáhání. Při dynamickém namáhání dochází k plastické deformaci, která lepený spoj porušuje a šrouby se uvolňují.

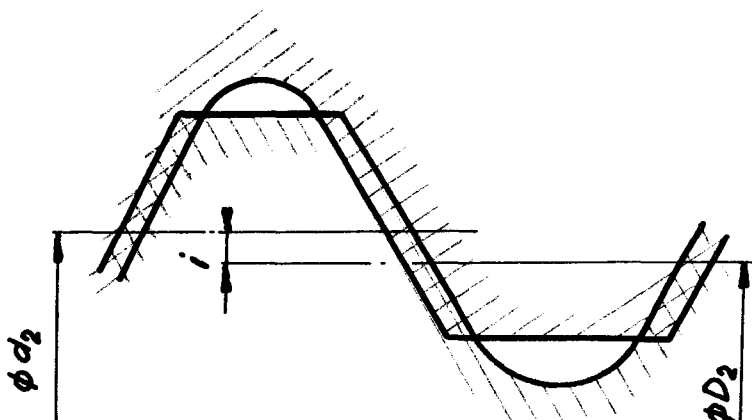
2/ Pájený závitový spoj. Je opět vhodný pouze pro statická namáhání a pro nízké teploty. Při dynamickém namáhání dochází opět k trhlinám a uvolnění spoje.

3/ Pevný závitový spoj dosažený zvýšeným třením. Zvýšením normálné síly se zvýší tření závitu šroubu v matici. Tím však je vyžadován zvýšený zatahovací moment, kterým zatahujeme šroub do matice. Zvýšeným momentem překonávámě radiální pnutí vzniklé jak v matici, tak i ve šroubu. Toto závitové spojení je obdoba

pevného spoje nališovaného čepu v otveru.

a) Přesah na středním průměru

Toto spojení je nejrozšířenějším způsobem pevného závitového uložení. Zobrazení této spoje je na obr. 2, kde "i" je uvedený přesah.



obr. 2

Dle dosažitelných pramenů je zřejmé, že toto závitové spojení se nejlépe osvědčuje a je předmětem dalšího vývoje pevných závitových uložení. Zkoumá se vliv materiálu, geometrických nepřesností a způsob výroby. Snahou je dostat pevný závitový spoj s přesahem bez nebezpečí zadření.

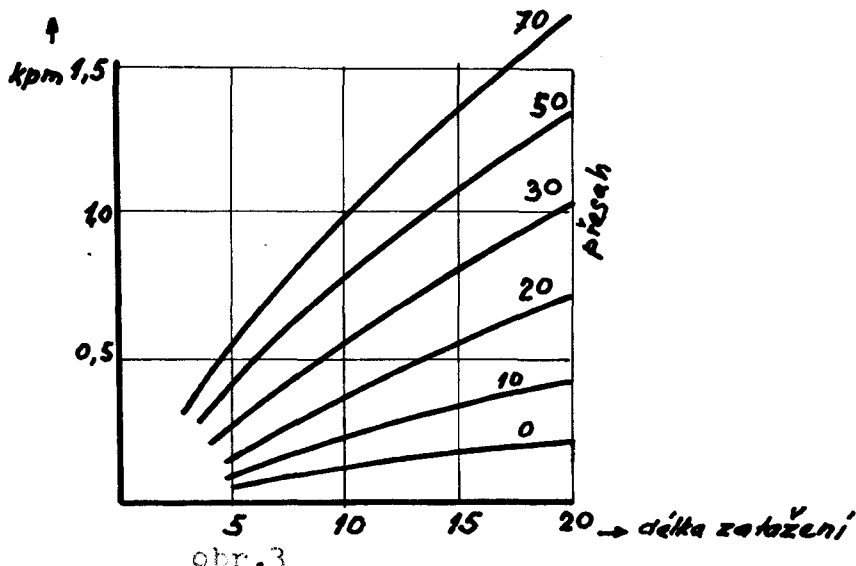
Oblast použití pevného závitového spojení s přesahem

Toto závitové spojení se používá hlavně u závrtých šroubů, které musí vyhovovat těmto požadavkům:

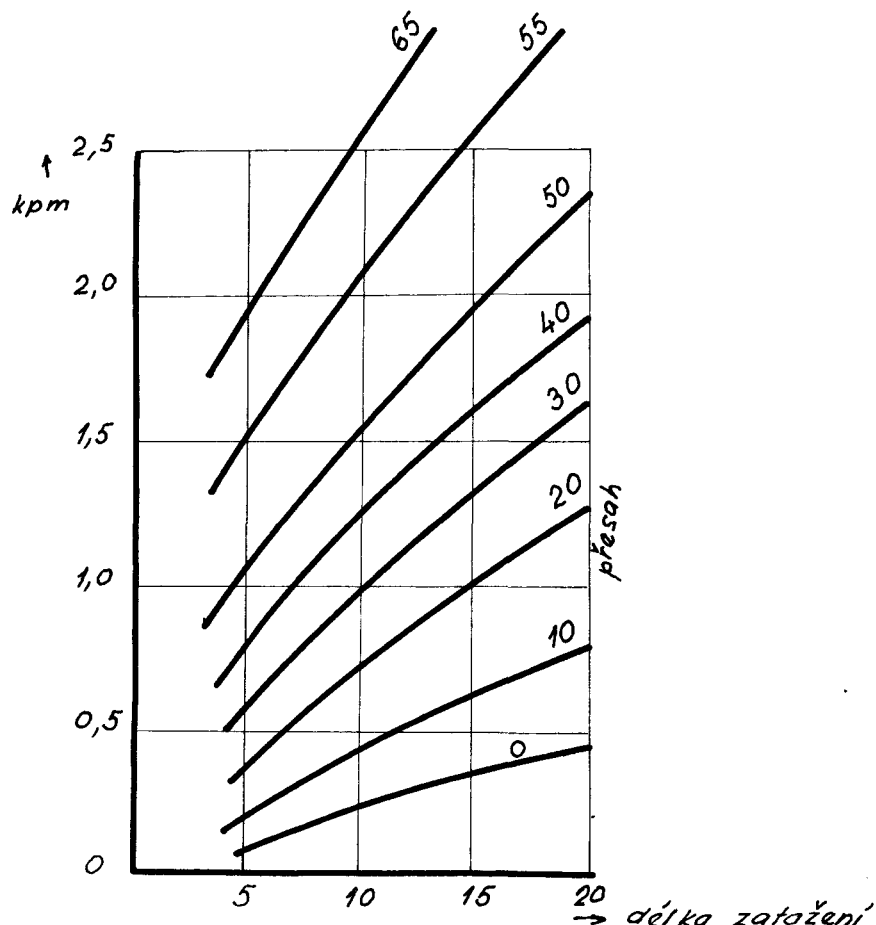
- 1/ Každý šroub musí jít zatáhnout do celého závitu, aniž by se zadřel
- 2/ Spojení musí být demontovatelné
- 3/ Spojení musí být pevné, aniž by nastalo dotažení do výbehu.
- 4/ Nesmí dojít k uvolnění v provozních podmínkách během zatižení.

- ad 1/ Pro zabezpečení šroubu proti zadření vybereme nejvhodnější způsoby opracování, případně povrchové úpravy.
- ad 2/ Demontáž a opětnou montáž šroubu můžeme zajistit pouze tehdy, dojde-li namáháním spojů pouze k pružné deformaci. Překročením hranice pružné deformace nastanou plastické deformace, které způsobí, že po rozebrání spoje nedojde k úplnému vrácení materiálu do původní polohy.
- ad 3/ Nemá-li nastat povolení za provozních podmínek, musí být přesah dostatečně velký.
- ad 4/ Jelikož přesah je ovlivněn bodem 1 až 2, snažíme se jej udržet v patřičných mezdích. Pro zvýšení zatahovacího momentu /tj. lepší držení závitu/ můžeme prodloužit délku zašroubování. Tím se však zvýší i potřebný zatahovací moment.

V obr. 3 máme zobrazen vliv délky zašroubování na zatahovací moment šroubem M 10 Sn3 do bloků (14) motoru 1000 MB s otvory M 10 SH6.



Na obr. 4 v motoru OCTAVIA s otvory M 10 SH 4



Obr. 4
 Byly zkoumány příčiny zadření u spojů tepelně a tlakově zatížených, které prováděl úřad pro normalizaci a měření, Královopolské strojírny n.p a VŠST Liberec. Při zjištování podstaty zadírání se došlo k těmto poznatkům:

- a/ Nečistoty, zejména v maticích, zhoršují kvalitu šroubového spoje, ale nedají se pokládat za základní, neboť používané dokonale metody čištění tento vliv téměř odstranují.
- b/ Adhese je považována za jednu z hlavních příčin zadírání. Z fyzikálního hlediska se přilínání materiálu /adhese/ vysvětluje přiblížením materiálu na tak malou vzdálenost, že začne působit elektrostatická přitažlivost mezi zápornými elektrony a kladnými ionty obou stýkajících se materiálů.

Čím více jsou plochy kovově čisté a vyšší jsou tlaky, tím větší bude intenzita adhese. Vliv na intenzitu adhese mají dále fyzikální vlastnosti materiálů, hlavně jejich tvrdost. Čím vyšší je tvrdost materiálů, tím vyšší je deformační odpor proti rozrušení a tím menší jsou odtrhávané částice. Příznivý vliv, způsobující snižování adhese, je pokrytí kovově čistých závitových ploch kysličníky, nitridy či fosfidy, které zabrání kovově čistému styku obou troucích se ploch materiálu. Proto se zavádí povrchové úpravy závitu. Nejběžněji se používá nitridace, která nejen omezuje zadírání, ale zvyšuje i korozivzdornost.

Shrneme-li poznatky o možnosti zadření šroubu, pak zjistíme, že nečistoty mají vliv který se ale dá odstranit vyčištěním. Velký vliv mají kovově čisté plochy, které obdržíme řezáním závitu. Ovlivnění nastane vysokými tlaky a zvýšenou teplotou, což zapříčinuje zvýšená drsnost. Ovlivnění nastane i chybou v celkovém provedení závitu, či nedostatečným mazáním.

Při volbě pevných závitových spojů s přesahem na středním průměru se doporučuje vycházet z těchto zásad:

- 1/ Přesahy musí být určeny dle druhu materiálu šroubu a matice.
- 2/ Velké a malé průměry musí vykazovat zaručenou výli.
- 3/ Odchylky závitu musí být takové, aby se běžně a bez velkých obtíží dal závit vyrobit.
- 4/ Závit musí navazovat na doporučený profil ISOR - 6 8.

Neopomeneme dodržet předepsanou výšku mezi horními a dolními průměry závitu. Každé zadření způsobí nedotažení šroubu, neboť veškeré strojní utahováky jsou seřízeny na určitý maximální zatahovací moment. Při překročení této hranice dojde k zastavení vřetene a unašeče.

Vliv materiálu šroubu a matice

Pro šroub bývá většinou používána jako materiál ocel. Materiál matice se obvykle mění. Nejčastěji se používá Al slitin v automobilovém průmyslu osobních vozů. Pro nákladní auta se používá litiny a v energetice dokonce legovaných ocelí.

Obtížné je stanovit pro jednotlivé materiály přesahy, neboť nebyla dosud vydána platná norma. V návrzích jednotlivých zemí se udávají různé přesahy pro používané materiály. Běžně se používalo závitové spojení s přesahem u kombinace ocel /šroub/ - slitina Al /matice/. Vývoj nově použitých materiálů vyžaduje normu i pro spojení ocel-ocel.

Čs. stálá komise pro normalizaci se tímto řešením zábývá v návaznosti na zkušenosti ze SSSR. Zde byly též zkoumány vlivy použití jednotného šroubu a jednotné matice. Uložení při jednotném šroubu vykazovalo dosti činitelů ukazujících na netechnologičnost jednotného šroubu, zvláště u těžko obrobiteLNÝCH materiálů. Těžko obrobiteLNÉ materiály vyžadují totiž zvýšenou přesnost vyráběných závitů.

Zjistilo se, že používaná sovětská norma 122 MT 53, nevyhovuje současným požadavkům. Přibližuje se v tolerančním poli středního \varnothing k soustavě jednotného šroubu.

Při zkoumání použití nových materiálů se špatnou obracitelností a aplikací uvedené normy, se objevily technologické obtíže.

- 1/ Na šrouby z nerezavějících či konstrukčních ocelí značně působil žárupevný materiál matice, který způsoboval deformace jednotlivých závitů šrcubu a materiál šroubu se začal vydrolovat na velkém průměru. Vydouvání při závitovém skloubení činilo až $0,15 \text{ mm}/\varnothing$.
- 2/ Materiál matice se podrobuje změnám na vnitřním průměru, to znamená, že po zavrtání šroubu se vnitřní průměr matice zmenší až o $0,20 \text{ mm}$. Tento případ je zřejmě podmíněn nerovnoměrným rozdelením zatížení podle výšky profilu, profilu závitu, koncentrovaných napětí v oblasti zaoblení závitu a různou pevností závitu podle jeho výšky.
- 3/ Použití nových materiálů vyžaduje současně použití antikorozivního povlaku na šroubech. Je nutné však uvažovat tloušťku ochranné vrstvy, neboť na velkém a malém průměru může způsobovat dodatečný přesah jak matice, tak i šroubu.
- 4/ Řezný nástroj na závit v matici při obrábění nových těžkoobracitelných materiálů podléhá zvýšenému opotřebení na povrchu závitu. Tím však trpí jakost zhotovené plochy v matici.
- 5/ Nové žárupevné a titanové slitiny dávají během procesu obrábění nulové rozhození. Lité slitiny mají dokonce ještě sklon k smrštění.

| | | |
|-------------------|---|-----------------------------|
| VŠST v Liberci | Cvěřovací zkouška pevných závitových spojů v bloku motoru 1000 MB | DP - ST - 9 12. 12. 1964 |
| | List: 89 | List: 13 |

To způsobuje těžkosti při zajišťování zaručených výlín. Ukázalo se, že největší potíže při výrobě závitového spojení připadají na zhodovení závitu matice, obzvlášt s přihlédnutím k masivním částem žárupevných a titanových slitin.

Ke zhodovení pevného závitu v součástech z nových materiálů jsou nutny speciální závitníky, jejichž přesnost je zvýšena na $\pm 0,005 - 0,007$ mm u rozteče a na středním průměru v rozmezí $0,008 - 0,010$ mm. Tolerance poloviny úhlu profilu je 8 - 10 minut.

Počet závitníků určených pro výrobu závitu v těchto ocelích se zvýší na 4 kusy v sadě.

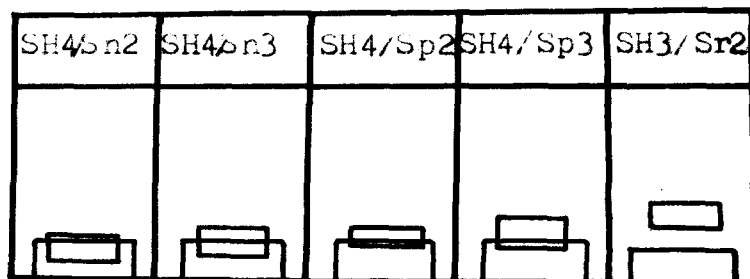
Kontrola těchto závitů se provádí kalibry vyrobenými opět se zvýšenou přesností. Životnost závitníků při práci v těchto materiálech je nízká. Výhodnější by bylo použití tolerančního pole jednotné matice, kde toleranční pole na středním průměru hladícího ručního závitníku, upevňovacího závitu a hladícího závitníku pro řezání pevných závitů se rovnají, tj. závitníkovou sadou na přesné závity možno vyřezat závit upevňovací 2. třídy přesnosti. Dokonce nemá vliv ani částečné optřebení profilu závitu.

Přesahová závitová spojení používaná mimo území ČSSR

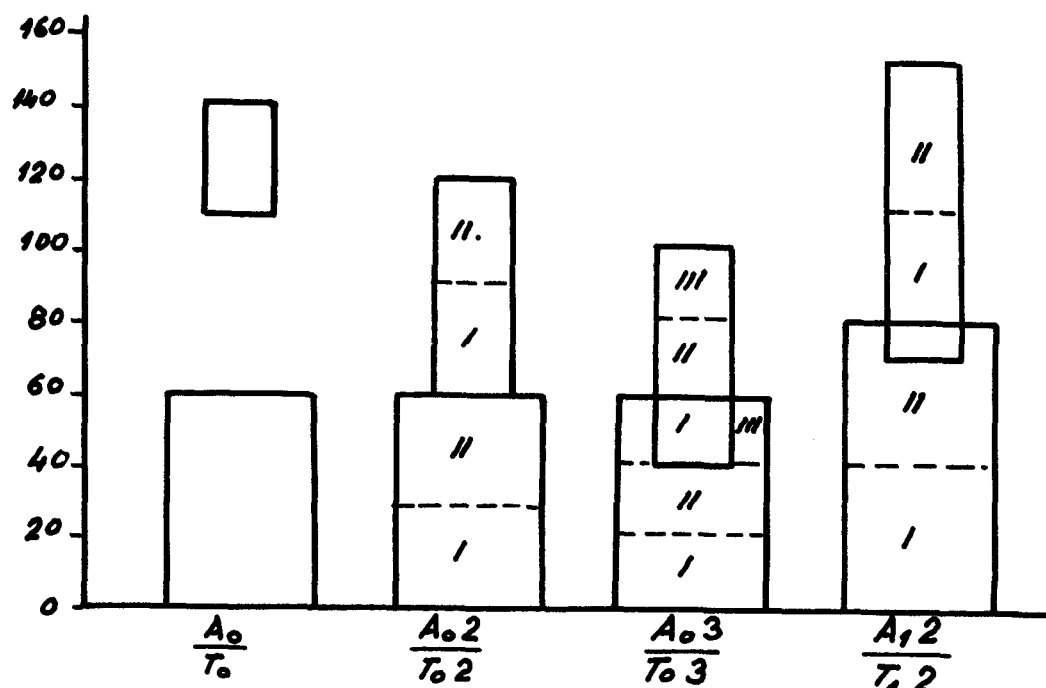
Obdobné nedostatky, jaké se vyskytují v čs. normách, vykazují i normy ostatních zemí, tj. existují malé přesahy, či značně velké přesahy, které nezaručují jednotnou použitelnost pro všechny druhy materiálů.

Na obr. 5 jsou znázorněny doporučované tolerance středního průměru dle ČSN, které jsou v současných normách. Spojení SH3/Sr2 je v praxi neoblíbeno pro těsnou toleranci závitu matice.

Na obr. 6 jsou doporučované přesahy na středním průměru šroubu, vzhledem k toleranci matice normy GOST.



obr. 5



obr. 6

Na obr. 7 jsou normy DIN a ASA opět určeny k toleranci středního průměru závitu. U normy DIN je tolerancí Sh4 značen pouze závit šroubu. Závit matice je rozdělen podle druhu na jemný, střední a hrubý, kde se mění pouze horní hranice tolerance závitu.

| DIN | ASA | | | |
|-----|-----|------|-------|-------|
| | Sn4 | NSHF | NSCSF | NSONF |
| | | | | |
| | | | | |

obr. 7

Pro jemnější rozdělení jsou zaváděny v normě GOST ještě přesnosti I; II; III; Indexy C; l u písmene A; T značí třídu přesahu závitu

Přiřazené číslo 2;3 značí třídu /skupinu/

Uložení $\frac{A_0}{T_0}$ je doporučené používat po spojení slitin Al a litiny. Tyto materiály jsou používány při výrobě diesselmotorů, traktorů a aut.

A₀2/T₀2 je doporučeno použít pro spoje slitin Al a Mg, kterého se používá při spojení materiálů s tenkými stěnami přiletectví.

A₀3/T₀3 má být používáno pro toleranci závitových spojů ocel - ocel.

A₁2/T₁2 je určeno pro tolerování závitových spojů v litině.

VŠST
v Liberci

Cvěřovací zkouška
pevných závitových spojů v bloku
motoru 1000 MB

DP - ST - 9

12. 12. 1964

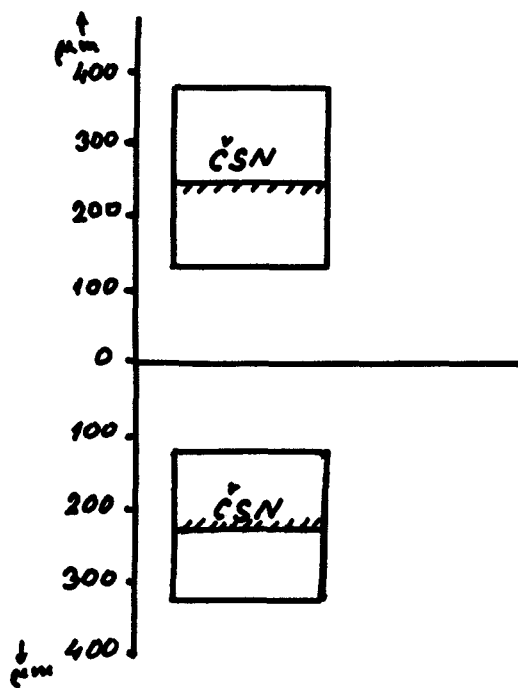
List: 89

List: 16

Stálá Československá komise při RVHP pro tvorbu normy pevných závitových spojů propracovává 3.návrh, v němž mimo jiné upravuje návrh normy GOST a porovnává s ČSN.

Pro pevné závitové spojení dle Ao/To pro závit M 10 by vycházely tyto výrobní hodnoty:

| závit | steupení závitu | matice | | | | | |
|-------|--------------------|-------------------|------------------|-----------|-------------------|-------------------|-----------|
| | | vnitřní průměr | | | střední průměr | | |
| | | spodní hranice | horní hranice | tolerance | spodní hranice | horní hranice | |
| M10 | 1,5 | +130 | +380 | 250 | +90 | +140 | |
| šroub | | | | | | | |
| | | dolní průměr | | | horní průměr | | |
| | | spodní hranice | horní hranice | tolerance | horní hranice | spodní hranice | tolerance |
| | | -234 | -76 | 158 | -120 | -320 | 200 |

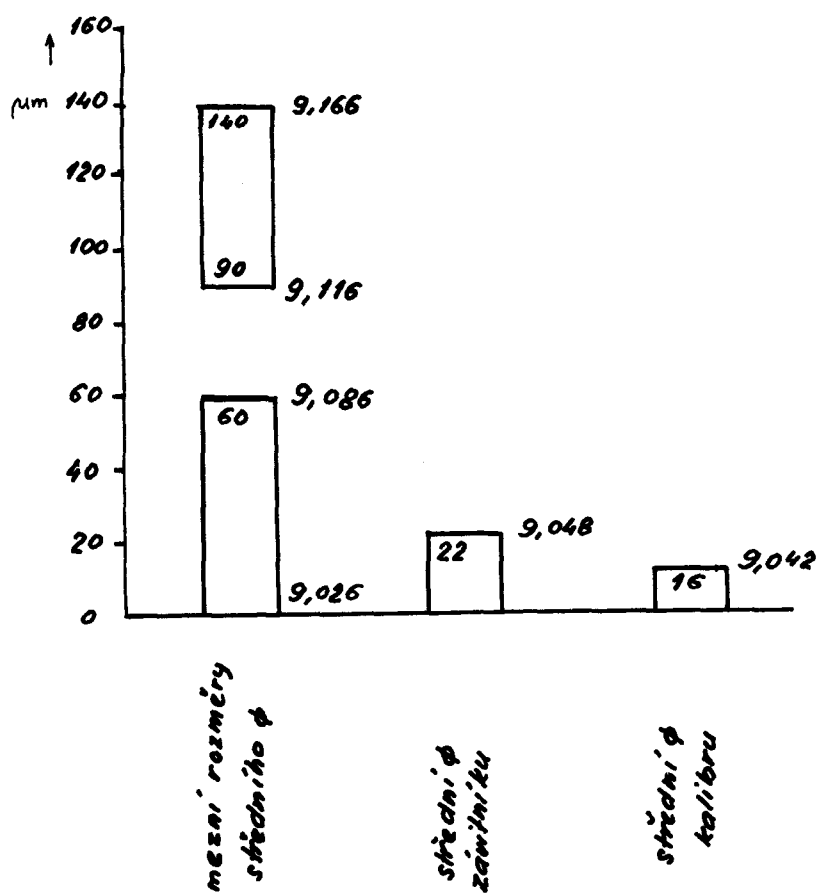


obr.8

Na obr.8 jsou znázorněny úchytky malého průměru matice a velkého průměru šroubu uvedeného v tabulce.

Dále je v obrázku zakreslen průběh tolerancie ČSN.

Na obrázku 9 jsou zakresleny úchytky středního
průměru uvedeného závitu.



obr.9

Pojištění přesahem kuželového výběhu

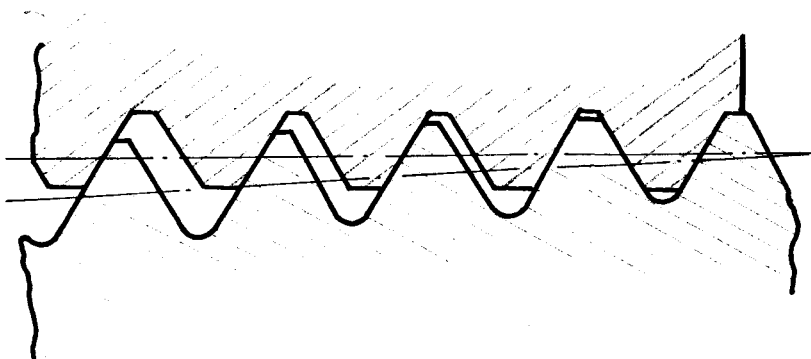
Pojištění závitu provedeno přesahem kuželového výběhu dotaženého do prvního závitu matice.

Jak je však známo, přenáší první závit největší část zatížení a kuželový výběh toto zatížení ještě zhoršuje, neboť způsobí další přidavné namáhaní. Tento způsob je používaný v NDR. Jedná se o základní uložení dle DIN Sn4 dle obrázku č. 7 .

Zatažení šroubu do výběhu dává možnost zadření /viz dále/, vliv vrubu se zvyšuje a spojení je méně odolné na únavu. Nedokonalé geome-

trie ve výběhu v souvislosti s výlí mezi šroubem a maticí způsobuje, že se osa závitu šroubu odchýlí od osy závitu matice a může nastat přídavné namáhaní. U vzdálenějších závitů může dojít k snížení nosné hloubky.

Na obrázku 10 je znázorněn extrémní případ.



obr. 10

Tento případ se zejména nepříznivě projeví při montáži několika závitových šroubů zavrtaných na určité přesné rozteči.

Při přichycení protikusu může dojít k nesouososti otvoru a šroubu.

Závitové spojení s úchytkou ve stoupání

Toto závitové spojení navržené, čs. paten-tem č. 100840, se běžně zatím nepoužívá, je stále ještě ve stádiu zkoušek. Při tomto závitovém spojení dochází k předpětí. Jelikož stoupání závitu šroubu je zmenšeno proti normálnímu stoupání závitu matice, dochází k napětí v závitech, které má za úkol snížit namáhaní prvního závitu a rozdělit je mezi ostatní závity.

Skutečnost, že první závit matice přenáší asi 30 % celkového zatížení, platí jen tak dlouho, než se dosáhne této hranice v zatížení prvního závitu. Pak začne jeho plastická deformace. Potom jsou ostatní, dosud jen elasticky deformované závity silněji zatíženy. Tento proces se opakuje u všech závitů. Zatížení prvního a posledního závitu matice je na konci tchoto stadia takřka stejné a rozdíl v zatížení je v tomto okamžiku nesrovnatelně menší, než při výlučně elastické deformaci.(1)

Zmenšené stoupání /úchylka/ šroubu umožní, aniž by nastala deformace, volné našroubování šroubu do prvních závitů matice.

Počet volné našroubovaných závitů lze vyjádřit vzorcem:

$$Z = \frac{T_m - T_s}{\Delta S} \quad \operatorname{tg} \alpha/2$$

kde je Z počet závitů

T_m tolerance str. \emptyset
matice

T_s tolerance str. \emptyset
šroubu

ΔS výchylka stoupání

α úhel profilu zuba

Úkolem tohoto spojení má být nahradit v některých případech pevné závitové spojení, zvláště při zavedení strojních montáží.

Návrh zkušebního zařízení pro strojní zatahování
šroubů, umožňující měření zatahovacích momentů

U dosud prováděných metod se provádělo měření různé upravenými momentovými klíči, kde čtení zatahovacích momentů bylo s většími či menšími odchytkami. Tyto způsoby neodpovídaly podmírkám strojního zatahování. Nebylo použito rovnoměrného zatahovacího momentu, jakého se dosahuje při použití pneumatických či elektrických utahovacích klav. Úkolem diplomní práce je najít způsob měření, který by byl obdobou běžného strojního utahování.
Otáčky lze dosáhnout na běžných vrtačkách s měnitelnými otáčkami.

Zjištění hledaného momentu lze provést pomocí dynamometru. Naměrené hodnoty se snažíme zaznamenat co nejpřesneji, nejrůději je přímo vynášíme zapisovacím zařízením. Tím je odstraněna možnost relativní chyby, které se můžeme dopustit při čtení záznamu.

Rozdělení dynamometrů:

1/ Podle použití na jednotlivé způsoby obrábění dynamometry dělíme:

pro scuštruzení
frézování
vrtání
broušení

2/ Podle počtu měřených slocžek, které lze dynamometrem měřit /současně/:

jednosložkové
dvousložkové
tříslozkové

3/ Podle způsobu měření rozeznáváme dynamometry:

- mechanické
- hydraulické
- pneumatické
- elektrické
- optické

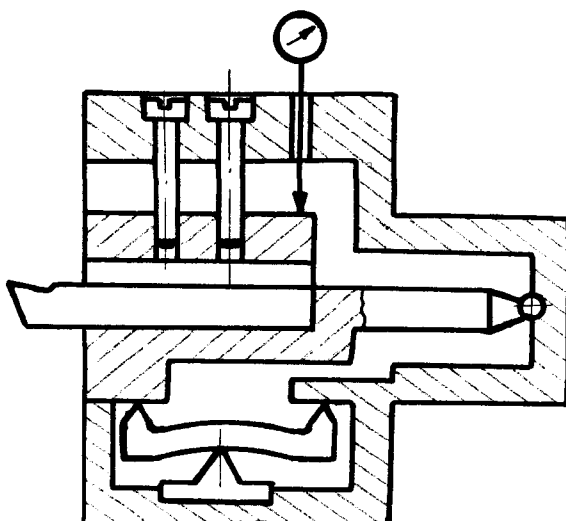
Dále můžeme dělit dynamometry ještě dle různých hledisek:

- dle citlivosti
- přesnosti měření
- rozsahu měření
- tuhosti /statické i dynamické/

Mechanické dynamometry - obr. 11 -

měří velikost síly pomocí deformace páky.

Tato deformace se přenáší přes držák, kloubově uložený v dynamometru, na dotek indikátoru. Nevýhodou těchto dynamometrů je poměrně malá citlivost.



obr.11

Hydraulické dynamometry -

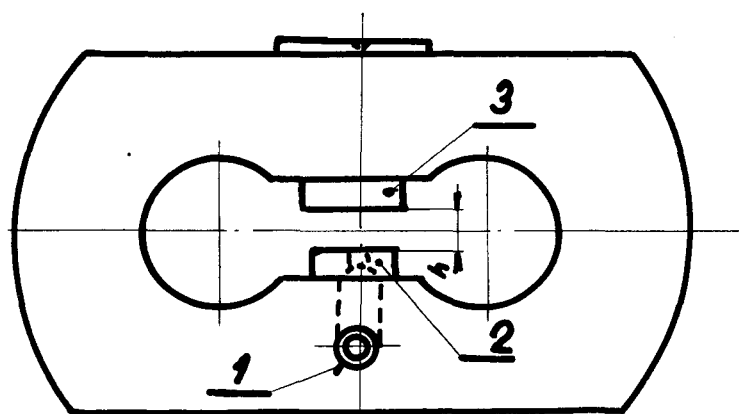
silomerným elementem je vlastné hydraulický válci s pistem či membránou vložený mezi násroj a držák. Tlak zachycuje pist /či membránu/ přenáší kapalinou na měřicí hodinky /manometr/.

Tento princip má několik nedostatků:

- a/ hydraulické měřicí prístroje mají pomalou reakční schopnost a při rychlejsích změnách působících sil vykazují značné nepřesnosti.
- b/ pro vyšší přesnost se provádí dynamometry s velikým zdvihem, čímž se stávají nedostatečně tuhé.
- c/ dynamometry mají jen jediný rozsah.

Pneumatické dynamometry -

pneumatický silomerný kroužek je na obr.12



obr.12

Stlačený vzduch je priváděn nastavcem 1 a kanálem do dýzy 2. Proti této dýze je mikrometricky stavitelný kolík 3. Sily působí na silomerný kroužek přes ocelovou kulíčku. Působením sil je kroužek deformuje, čímž se změnuje mezera "h". Změnu mezery se mění průtočný průřez a tím i velikost tlaku vzduchu. Velikost změny tlaku se odečte na manometrické trubici.

Dynamometry založené na elektrickém principu - u těchto dynamometrů existuje několik způsobů měření. Všechny mají určité přednosti proti dynamometrům mechanickým, hydraulickým, pneumatickým. Je to hlavně malá setrváčnost měření, více měřících rozsahů, možnost provedení grafického záznamu buď oscilografem, či na filmovaním světelného obrazce /nejčastěji pohybujícího se bodu, na film.

Elektrické přístroje k měření soustředěných sil - do této skupiny elektrických dynamometrů patří mnoho přístrojů k měření sil při mechanickém namáhání či opracování součástí.

Hlavním požadavkem, kladeným na snímače, je co možná nejmenší deformace pracovní části snímače. Tomuto požadavku vyhovují do jisté míry všechny snímače, používané k přeměně mechanické veličiny na elektrickou. V praxi se při měření sil a tlaků setkáváme s piezoelektrickými, magnetickými, induktivními a kapacitními snímači. Zvláště malé posuny, způsobované měřenou silou, jsou u piezoelektrických a magnetostríkčních snímačů.

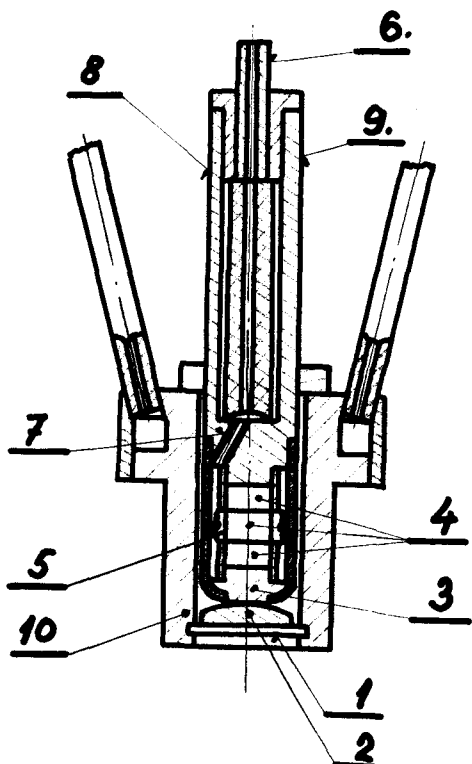
Podle použitého principu se dělí na:

- 1/ piezoelektrický
- 2/ magnetostrikční
- 3/ kapacitní
- 4/ indukční
- 5/ fotoelastický
- 6/ odporevý

1/ Piezoelektrické dynamometry -

jsou založeny na piezoelektrickém efektu některých typů krystalů. Při deformaci uvedených krystalů vzniká na jejich povrchu rozdíl potenciálů, který je úměrný deformaci a může dosáhnout značných velikostí. Výhodou tchoto dynamometru

je malá setrvačnost. Můžeme jím změřit změny zatížení do 30 000 - 50 000 c/sec. Piezoelektrického principu se nedá dosti dobře použít pro měření statických veličin, neboť napětí postupně klesá. Další nevýhodou je malá pevnost krystalů, která bývá 10 - 15 kg/mm². Příkladem můžeme vzít snímač monometru k snímání indikátorových diagramů ve válcích spalovacích motorů, obr. 13.



obr.13

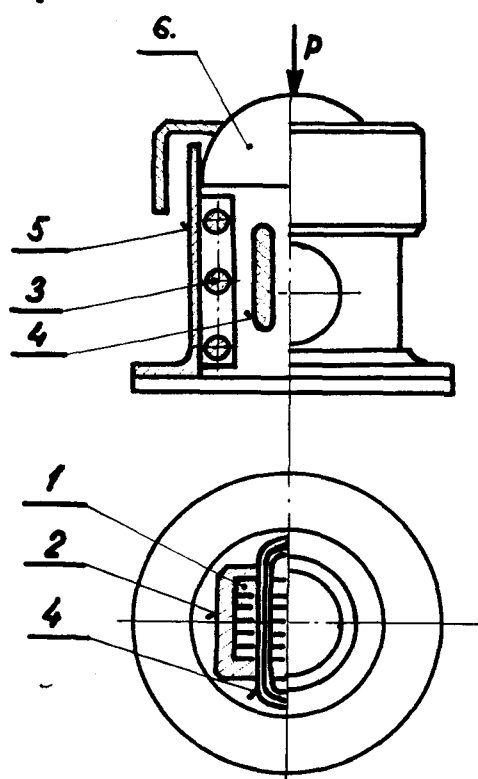
Tlak, který chceme měřit je přenášen membránou 1 s opěrnými destičkami /patkami/ 2 a 3 na křemenné desky 4. Dolní křemenná deska chrání dvě horní pracovní destičky před rozdrobením působením měrných tlaků. Výstupní folie se záporným potenciálem, upnutá mezi dvěma pracovními křemennými destičkami, je připojena k dělenému kroužku 5, který je spojen s vnějším vývodem 6 a pomocí vodiče provlečeného

trubičkou 7 a pouzdrem 8 z organického skla. Objímka 9, k níž jsou připevněny křemenné destičky s výstupními součástmi, jakož i patka 9, jsou zašroubovány do tělesa snímače 10. Celý tento snímač možno našroubovat místo svíčky do motoru.

Nedostatkem přístrojů s přezcelektrickými snímači je to, že části, jimiž prochází proud, musí být dokonale izolovány proti zemi.

Magnetostriktické dynamometry -

na obr. 14 je znázorněn snímač dynamometru. Jádro 1 je sestaveno z tenkých, vzájemně izolovaných permaloyových plechů. Horní a dolní část jádra je broušena. Tím se dosáhne stejnoměrného rozdělení tlaku. Svazek jádra 1 je zasazen do objímky 2 a stažen šrouby 3. Vinutí 4 je povlečeno dvěma obdélníkovými štěrbinami v tělese objímky a jádra. Jádro s cívkou a objímkou je vloženo do ocelového tělesa 5, které jej chrání a je zároveň magnetickým stíněním. Síla P působí na horní čelo přes kulový segment 6.



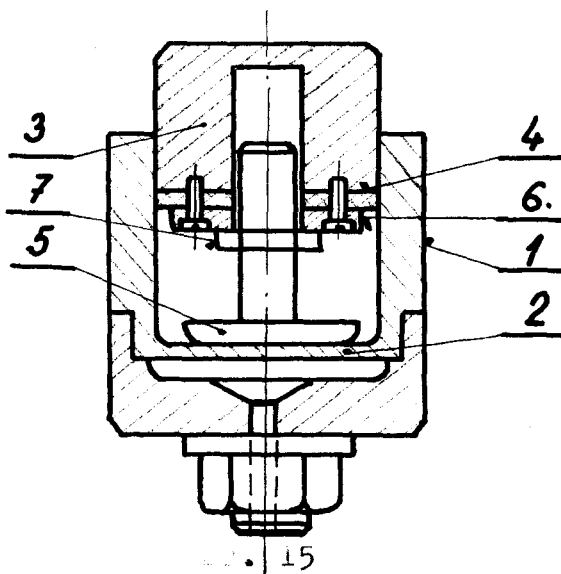
obr.14

Kapacitní dynamometry -

princip měření velikosti zatěžující síly spočívá ve změně kapacity siloměrného elementu, obr. 15.

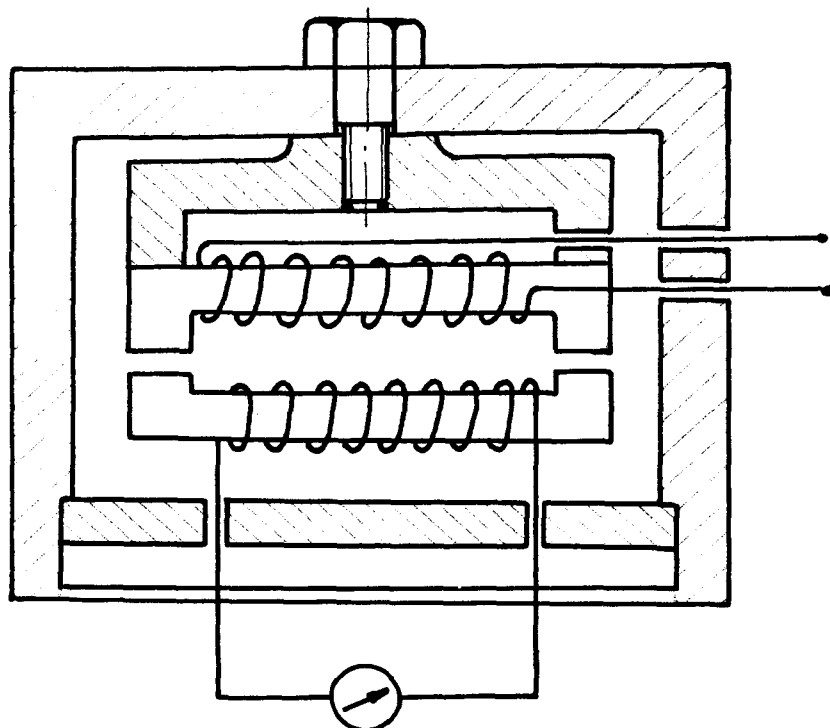
V ocelovém tělese 1, jehož dno je membránou 2, je nešroubována ocelová zátka 3 a k ní je připevněno isolační těsnění 4. K těsnění je přisroubována invarová podložka 6. Do jejího středového otvoru je našroubována tyč s pevnou deskou 5. Poloha desky v mezera mezi dnem a deskou/se ustavuje pomocí matice 7.

Zmenšováním mezery mezi deskami a dnem se mění kapacita, kterou měříme. Kapacitní dynamometry jsou velmi citlivé, přesné a pracují bez setrvačnosti.

Indukční dynamometry -

jsou založeny na principu změny intenzity elektrického proudu, který se indukuje v cívce. Velikost této změny je závislá na velikosti změny vzduchové mezery mezi cívками cl a c2, obr. 16.

Do cívky cl se přivádí střídavý proud o konstantním napětí. Dynamometr se skládá ze siloměrné krabice, na kterou působí zatěžující síla. Změnou vzduchové mezery se změní i intenzita elektrického proudu, kterou změříme galvanometrem. Nevhodou tohoto dynamometru je jeho nelineární průběh výkylky se zatížením a malá tuhost. Je totiž zapotřebí větších změn vzdáleností mezi cívками.

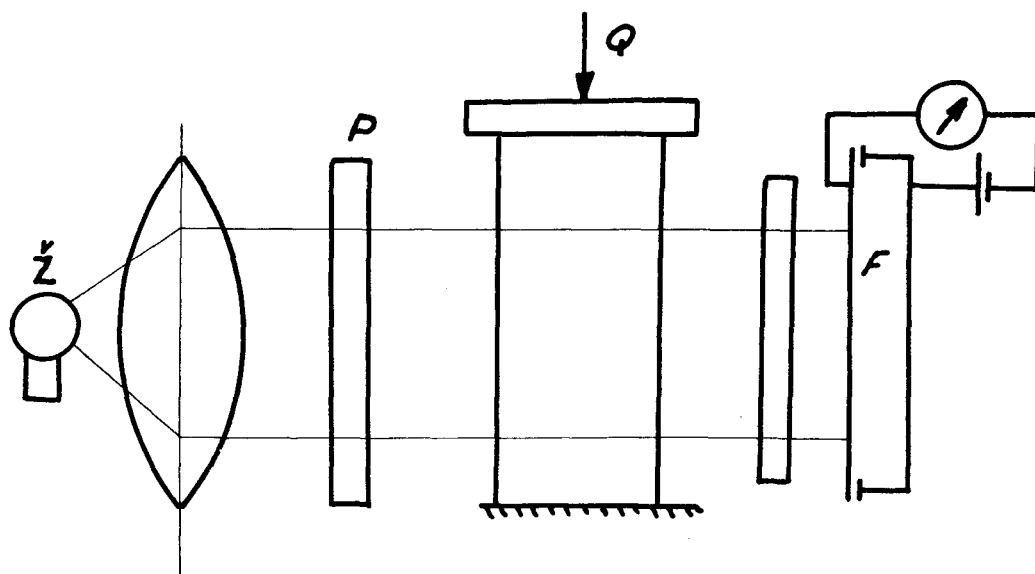


obr. 16

Fotoelastické dynamometry -

podstatou fotoelastických metod výzkumů a měření je jev, že průhledné, homogenní a isotropní hmoty, které jsou působením vnějších sil uvedeny do stavu jednosé napjatosti, se stávají opticky dvojložnými. Polarizované světlo prochází hmotami nestejnou rychlostí, podle směru své polarizační roviny. Jinou rychlosť má světlo, jehož polarizační rovina je rovnoběžná se směrem maximálního hlavního napětí, jinou rychlosť má světlo s polarizační rovinou kolmou k tomuto směru. Těchto zjevů lze užít k dynamometrickým účelům, tj. k měření sil. Jako průhledové hmoty se nejčastěji užívá plexiskla a celuloidu.

Princip fotoelastického měření sil je znázorněn na obrázku 17. Světlo žárovky dopadá na polalizátor P , dále projde fotoelastickým elementem, který je zatízen silou Q . Po průchodu tímto elementem dopadá světlo na analyzátor A . Světlo, které projde analyzátem, dopadá na selenovou fotonku F , v níž budí proud, úměrný intenzitě osvětlení. Proud je měřen citlivým mikroampérmetrem.



obr.17

Odporový dynamometr -

principiálně je založen na změně odporu elektrických vodičů, které zatěžujeme určitou silou. Nejznámější z použitých snímačů:

snímač s uhlíkovým odporem

snímač s kapalinným odporem

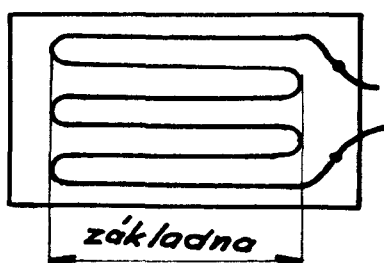
snímač tensometrický

Snímače s uhlíkovým odporem jsou velmi citlivé. Jejich citlivost je několikrát vyšší než citlivost odporů tensometrických. Tyto snímače jsou velmi citlivé na teplotu /vliv teploty se u všech snímačů snažíme vykonzenovat/ a mění svoje vlastnosti s časem. Nejvíce používaným odporevým snímačem je tensometr, který má řadu výhod před všemi uváděnými snímači.

Tensometry - obr. 18

Měření s použitím tensometrů se zakládá na změně ohmického odporu drátu v závislosti na prodloužení. Drát zatížený tahem se prodlužuje a jeho průřez se zmenšuje, takže odpor drátu roste. Deformace v podstatě měříme jako změnu lineárních rozměrů, ke kterým dojde statický či dynamický zatížení. Pro správné rozdělení napětí v součásti se musíme snažit provést měření v co nejmenších úsecích, jaké nám citlivost a příkon snímače dovolí.

Elektrických tensometrů se obzvláště používá pro měření dynamických namánaní, neboť mají setrváčnost značně nižší, než tensometry mechanické, či opticko-mechanické.



obr.18

Nejpoužívanější tensometry jsou drátové tensometry. Jsou to vlastně tenké drátky, přilepené na tenký papírový pásek zvláštními lepidly ze syntetických pryskyřic. Pásek je nalepen podobným lepidlem na očištěný a dokonale odmaštěný povrch součásti. Deformaci součásti přebírá drát.

Ten svou deformací mění i měrný odpor .

$$\frac{\rho \cdot l}{s} /$$

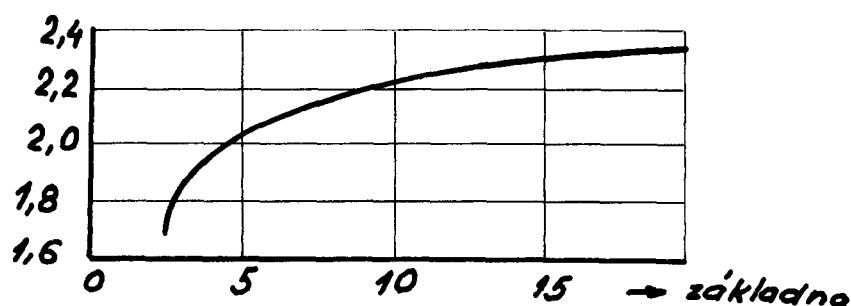
U tensometrů sledujeme poměrnou citlivost

$$\frac{\frac{\Delta R}{R}}{\frac{\Delta l}{l}} = K$$

Tato citlivost je pro různé materiály různá.

| materiál | K |
|--|---------|
| konstantan /58,8 % Cu - 40% Ni-2% Mn/ | 1,9-2,4 |
| NiChrom ,80% Ni - 20% Cr/ | 2,00 |
| Slitina FeCrAl | 2,8-2,9 |

Citlivost skutečného drátového snímače však ve skutečnosti je značně menší. Toto zmenšení citlivosti je způsobeno ohyby drátu, které nepřenáší plnou měrou deformaci součástky. Závislost citlivosti snímače na jeho základně je znázorněna v diagramu na obr. 19 /pro konstantem $\emptyset 0,03$ mm/



obr.19

Těchto snímačů lze použít nejen k měření pružných deformací, ale i plastických. V úseku plastických deformací je změna $\frac{\Delta R}{R}$ značně větší, než v úseku deformací pružných.

Na funkci drátového snímače má značný vliv teplota. Provádime kompenzaci teplotní chyby.

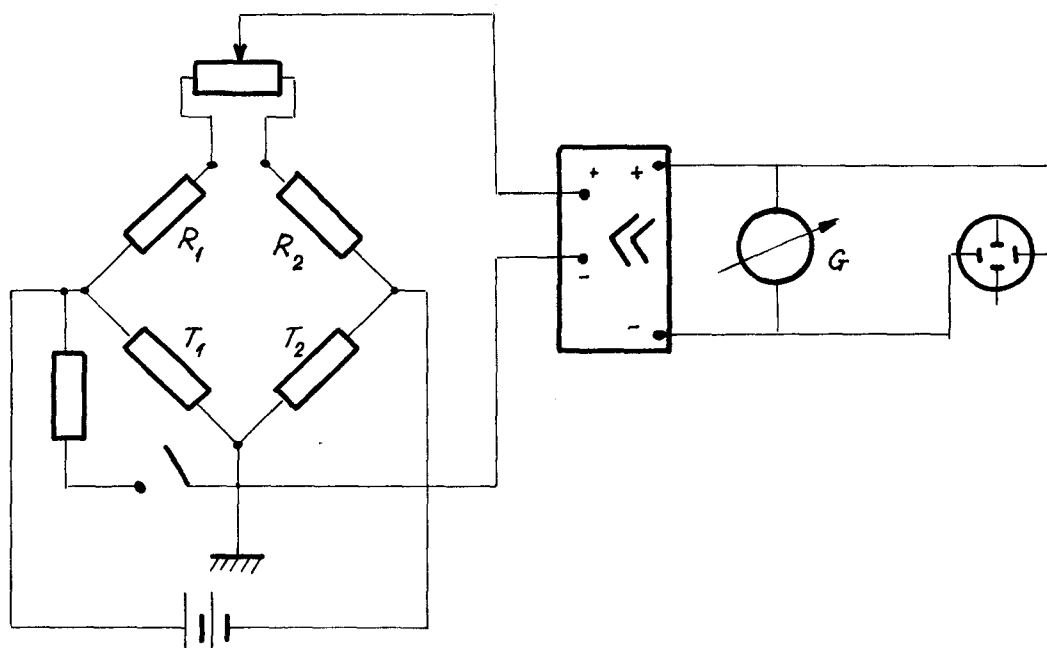
Teplotní činitel lineární roztažnosti materiálu součásti " β_z " je značně rozdílný od teplotního činitele lineární roztažnosti materiálu drátu " β_d ". Je-li deformace drátu přilepeného snímače $\frac{\Delta l}{l} = \beta_z - \beta_d$, změní se i odpor, relativní, $\frac{\Delta R}{R} = (\beta_z - \beta_d) k$

a v další závislosti na teplotě bude celková relativní změna odporu $\frac{\Delta R}{R} = (\beta_z - \beta_d) k + \alpha$ α ... teplotní součinitel odporu materiálu snímače.

Kompenzační snímač nutno připevnit na shodný materiál s materiálem měřeným, aby byla správně určena změna relativního odporu, daná uvedenou rovnicí. Druhým zdrcjem teplotní odchylky může být elektromotorická síla, která vznikne při sváření /spájení/ snímače s vývody Cu.

Mimo toto vytváří ještě konstantan při spájení s Cu termoelektrickou sílu /13,2 V/l°C/. Toto se běžně odstrňuje tím, že spájená místa drátu pokládáme veale sebe. Termoelektrická síla se vzájemně ruší.

Poněvadž velikost zatězující síly je přímoúměrná prodloužení l, lze její velikost určit změřením změny odporu R. Velikost změny R se pohybuje při nízkých mechanických napětích rádově v tisícinách ohmu. Abychom takto malou veličinu mohli zmerit, užijeme wheatstonova můstku, obr. <0.



obr. 20

Je-li wheatstonův můstek v rovnováze, pak platí:

"Na svorkách galvanometru není v tomto případě žádné napětí. Změnili se odpor tensometrických pásků T_1 a T_2 o ΔR , poruší se rovnováha můstku a na svorkách galvanometru vznikne napětí."

Určení hodnoty $\frac{\Delta R}{R}$ se může provést dvojím způsobem:

1/ Metoda nula v á

Určení se provádí potenciometrem, jehož stupnice je cejchována v $\frac{\Delta R}{R}$ /ručička galvanometru je na nule/.

2/ Metoda výpočetková

Rozvážení můstku, způsobené změnou odporu, nevyvazujeme potenciometrem, ale R určujeme primò podle vycnylký galvanometru.

Citlivost tensometrického dynamometru bývá 10^{-5} až 10^{-6} .

Jeho setrvačnost je prakticky nulová. Tensometrický snímač se napájí z oscilátoru proudem vyšší frekvence /několik set až několik tisíc cyklů za vteřinu/ a napětím 0,1 až 15 V. Stridový proud se volí s ohledem na snazší zesílení, na případnou filtracei poruch způsobených cizím elektromagnetickým polem a ne univerzálnost použití pro statická měření i dynamická měření. Cíp snímacu byva 100 až 600 ohmů. Nejběžněji se používá 120 ohmů. K vyloučení vlivu teploty na odpor snímače a tedy na výsledky měření zapojujeme snímače nejméně dva. Jeden jako měřicí, druhý jako kompenzační. Ten je nalepen na součást ze stejného materiálu a přibližně v téže tloušťce stěny jako zkoušena součást, avšak není zatížen. Obě tensometry potom podléhají stejné změnám teploty a vliv změn obou odporů na vyvázení můstku se přitom ruší.

Přehled vlastnosti tensometru

Tensometr patří mezi univerzální snímače. V ideálním případě má tyto vlastnosti:

- 1/ velmi malé rozmery
- 2/ bezvýznamnou váhu
- 3/ možnost lehkého připevnění k sledované součásti
- 4/ vysokou citlivost k deformacím
- 5/ možnost reagování na statická a dynamická zatížení
- 6/ nízká cena
- 7/ možnost měření na velmi malé délce.

Požadavky na dynamometry

Při návrhu dynamometru musíme mít na zřeteli požadavky kladené na úroveň těchto měřicích přístrojů:

- 1/ přesnost
- 2/ požadovaná citlivost
- 3/ více měřicích rozsahů
- 4/ vyloučení vnějších vlivů
- 5/ lehká obsluha
- 6/ vyloučení vzájemného ovlivňování složek působících sil
- 7/ malé rozměry
- 8/ dostatečná tuhost
- 9/ malá setrvačnost celé měřicí soustavy
- 10/ lineární závislost výchylky na zatížení
- 11/ možnost současného záznamu všech složek síly

Ze všech uvedených způsobů se zdá tensometrická metoda nejlepší.

Zhodnocení jednotlivých dynamometrů

Jak již bylo dříve uvedeno, je možno měřicí přístroje a metody dělit zhruba na mechanické a mechanicko-elektrické. S čistě mechanickými přístroji se snažíme vystačit v případě statického a hrubého namáhání. Jestliže požadujeme větší citlivost měření, musíme mechanické přístroje kombinovat s metodami elektrickými. Pro elektrické metody používáme velmi citlivých a přesných měřicích aparátů. Každá elektrická měřicí metoda má své výhody a nevýhody.

Způsoby indukční a kapacitní mají nelineární charakteristiku, jsou choulostivé a obtížné se dají obsluhovat. Způsob piezoelektrický je aosti složitý. Nehodí se tedy pro statické zatězování.

| | | |
|---------------------------|---|--------------------|
| VŠST v Liberci | Ověřovací zkouška pevných závitových spojů v bloku motoru 1000 MB | DP - ST - 9 |
| | | 12. 12. 1964 |
| | List: 89 | List: 35 |

Při složitých měřeních obecného namáhání, kdy je nutno použít několik principů současně, se používá pro každou metodu jiná zesilovací aparatura. Bylo snahou nalézt takovou metodu, která by splňovala tyto požadavky:

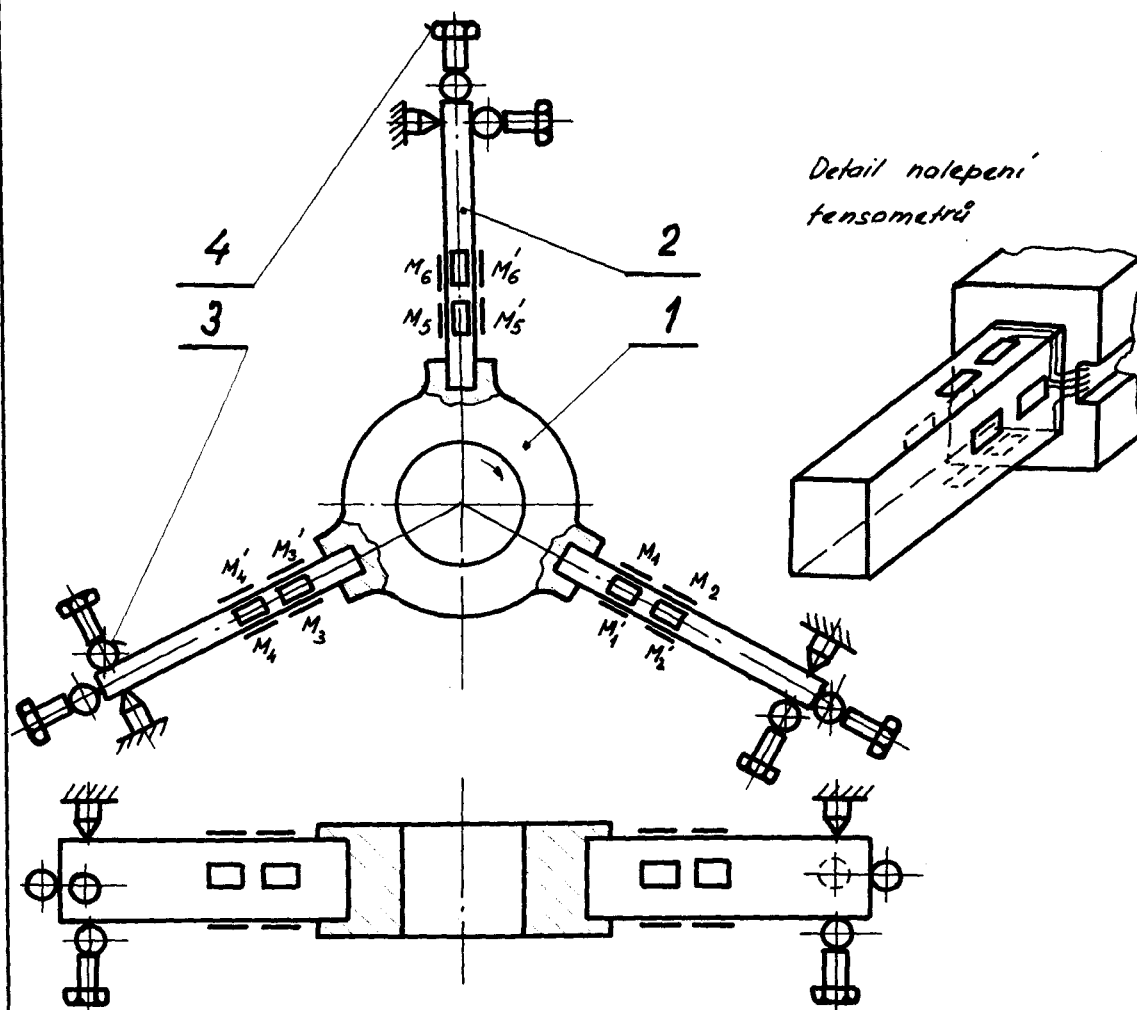
- 1/ možnost použití pro složité měření
- 2/ zaručená dostatečná citlivost
- 3/ měření bez fázového zpoždění.

Témto požadavkům vyhovuje nejlépe tensometrická metoda, která je velmi jednoduchá a provozně spolehlivá. Této bylo použito i pro měření zatahovacího momentu.

Důvodem použití této metody bylo:

- 1/ požadovaná citlivost
- 2/ jednoduché měření
- 3/ dostupnost.

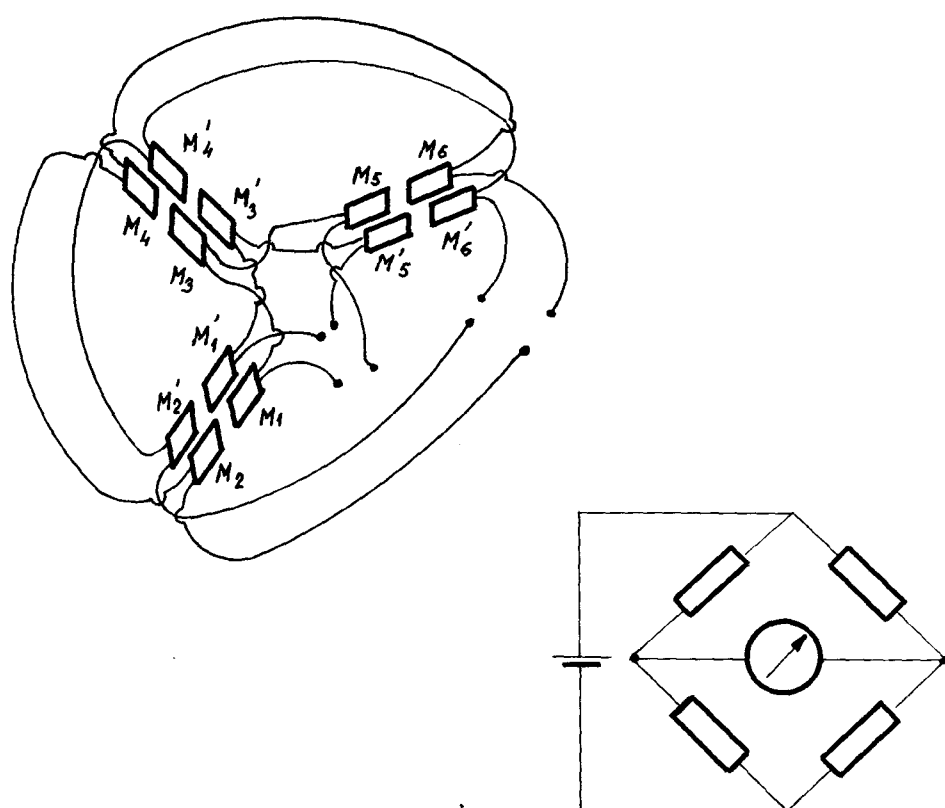
Bylo použito dynamometru třísložkového s možností měření momentu ve vodorovné rovině, určeného pro měření řezných sil, vzniklých při vrtání. Pro měření se použily pouze tensometry momentové složky. Dynamometr, sestavený dle Doc.ing. Dráha, byl úspěšně použit při několika měřeních. Dynamometr je třísložkový a jeho rozsah je 0 - 300 kpm. Dynamometr lze upnout na běžné obráběcí stroje, aniž by se vyžadovalo jakékoli jejich upravení. Provedení dynamometru je znázorněno na obr.21.



obr.21

Objímka 1, uzpůsobená pro připevnění namáhané součástky, je připevněna na třech rovných ramenech 2. Rameňa jsou prostorově uložena na kuličkách 3, které jsou regulařně šrouby 4 tak, aby byla odstraněna vůle mezi rameňem a kuličkami. Na ramenech jsou nalepeny tensometry $P_1, P_2, \dots, P_6, P'_1, \dots, P'_6$.

Snímače jsou propojeny za sebou dle obrázku. Propojení tensometrů s lichými indexy P_1, P_3, P_5 a P'_1, P'_3, P'_5 a tensometrů se sudými indexy P_2, \dots, P_6 , obdržíme uzavřený Wheatstonův můstek, obr. 22.



obr.22

Dostačí-li nám poloviční citlivost dynamometru, stačí zapojit pouze řadu tensometrů s lichými indexy. Tím však nedostaneme uzavřený můstek a tensometrické soustavy musíme přidat přídavné odpory, abychom mohli provést měření.

| | | |
|-------------------|---|-------------|
| VŠST v Liberci | Ověřovací zkouška pevných závitových spojů v bloku motoru 1000 MB | DP - ST - 9 |
| | | 12.12.1964 |
| | Listů: 89 | List: 38 |

Pro snímání neměřených veličin bylo použito tensometrické aparatury TMS, která svými uvedenými přednostmi vyhovuje pro měření momentů. Použit byl pouze jediný kanál.

Tensometrická souprava TMT-03

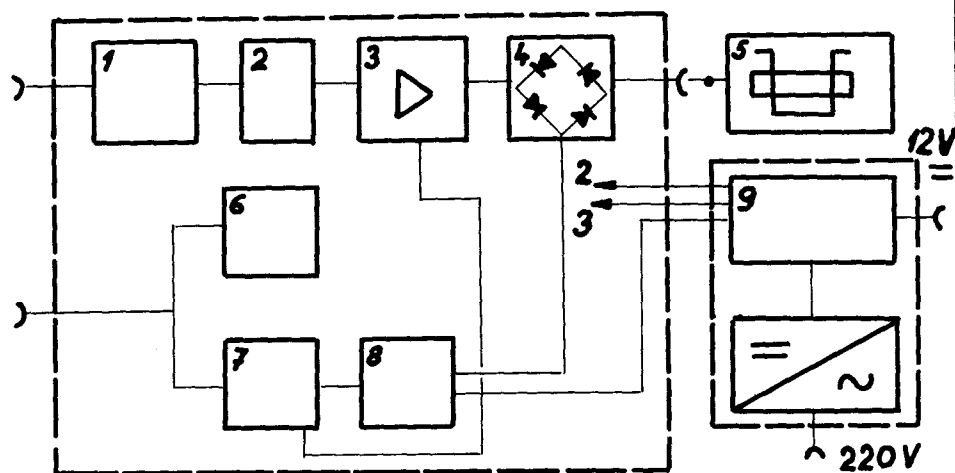
P o u ž i t í

Tensometrická souprava TMT-03 slouží k současnému měření tří mechanických veličin, snímaných odpovídajícími drátkovými snímači /tensometry/, induktivními snímači zapojenými můstkovém, nebo jako diferenciální transformátory. Použijeme tensometry a zapojení můstkového.

TMT-03 je určena především pro staticko-dynamická měření na pohyblivých objektech /vozidlech, letadlech, atd/ a v terénu, kde se především uplatní její malé rozměry, váha, necitlivost na otřesy a hlavně nepatrná spotřeba. Je však docela možno ji použít ve zkušebnách, laboratořích s provozu.

F o p i s a f u n k c e

Souprava se skládá ze tří úplně samostatných a nezávislých kanálů, zašroubovaných do společné skříně. Jejich napojení je provedeno přes společný stabilizátor, který zajistuje úplnou nezávislost údaje na kolísání napájecího napětí v rozsahu 11,5 - 16 V, případně při síťovém napojení 200 - 240 V. Celá elektronická část je provedena technikou pláštných spojů /tištěné obvody/, což zaručuje vzdornost proti otřesům. Blokové schéma přístroje je na obr. 23.



obr. 23

- 1 vyvazování
- 2 dělic
- 3 zesilovač
- 4 demodulator
- 5 smyčka
- 6 cejch
- 7 výkonový stupeň
- 8 oscilátor 5 kHz
- 9 stabilizátor

| | | | | |
|---|---|--------------|----------|--|
| VŠST v Liberci | Cvěřovací zkouška pevných závitových spojů v bloku motoru 1000 MB | DP - ST - 9 | | |
| | | 12. 12. 1964 | | |
| | | Listo: 89 | List: 40 | |
| pružky jednotného kanálu | | | | |
| <p>Oscilátor 5 kHz napájí přes výkonový stupeň vlastní tensometrický můstek. Výstupní napětí můstku je přivedeno k zesilovači přes vyvážovací obvody, kterými je možno vyvážit až $\pm 2\%$ základního rozdílu odporu tensometru a kapacitní nerovnováhu do 500 pF. Pomoci tlačítka "cejch" s "0" je možno i za provozu a nevyváženém můstku vytvořit na záznamu cejch o velikosti nastaveného rozsahu.</p> <p>Velikost zesílení jednotlivých kanálů možno nastavit na stejnou hodnotu pomocí potenciometru, umístěného na panelu. Zesílený signál je demodulován v kruhovém demodulátoru a priváděn na smyčku.</p> | | | | |
| Technické údaje | | | | |
| <p>Počet kanálů : 3</p> <p>Metrické rozsahy na plnou výhylku 0,5; 1,25; 2,5; 5; smyčky pro jeden aktivní tensometr: 10; 25; 50 %</p> <p>Použité snímače: Odporové tensometry 120-600Ω v našem případě použijeme 120Ω /, induktivní snímače v můstkovém zapojení / impedance napájené cívky minimálně 100 Ω /.</p> <p>Kosná frekvence: 5 kHz $\pm 2\%$</p> <p>Napájecí napětí můstku : 4 - 7 V</p> <p>Výstupní proud při jmén. rozvážení: ± 5 mA</p> <p>Lineární rozsah vyst.proudu : ± 9 mA</p> <p>Max.vyst.proud : ± 15 mA</p> <p>Vnitřní odpor výstupu : 20 ohmů</p> <p>Linearita : 1 %</p> <p>Teplota okolí : 0 - 50 ° C</p> | | | | |

| | | |
|---------------------------|--|---------------------------------|
| VŠST v Liberci | Ověrovací zkouška pevných závitových spojů v bloku motoru 100C MB | DP - ST - 9 |
| | | 12. 12. 1964 |
| | | List: 89 List: 41 |

Z v l a š t n i p r e d n o s t i

Nepatrná spotřeba. Nezávislost na síti. Nízká váha. Možnost připojení jak tensometrů, tak induktivních snímačů. Nezávislost na kolísání napájecího napětí. Možnost připojení poloviny úplného můstku. Vyvažovací obvody neovlivňují deformační citlivost tensometrů ani při 4 aktivních tensometrech.

Postup práce

Měření nezáviselo na dříve prováděná zkoumání mechanickými měridly. Bylo použito šroubů M 1C

1/ s přesahem

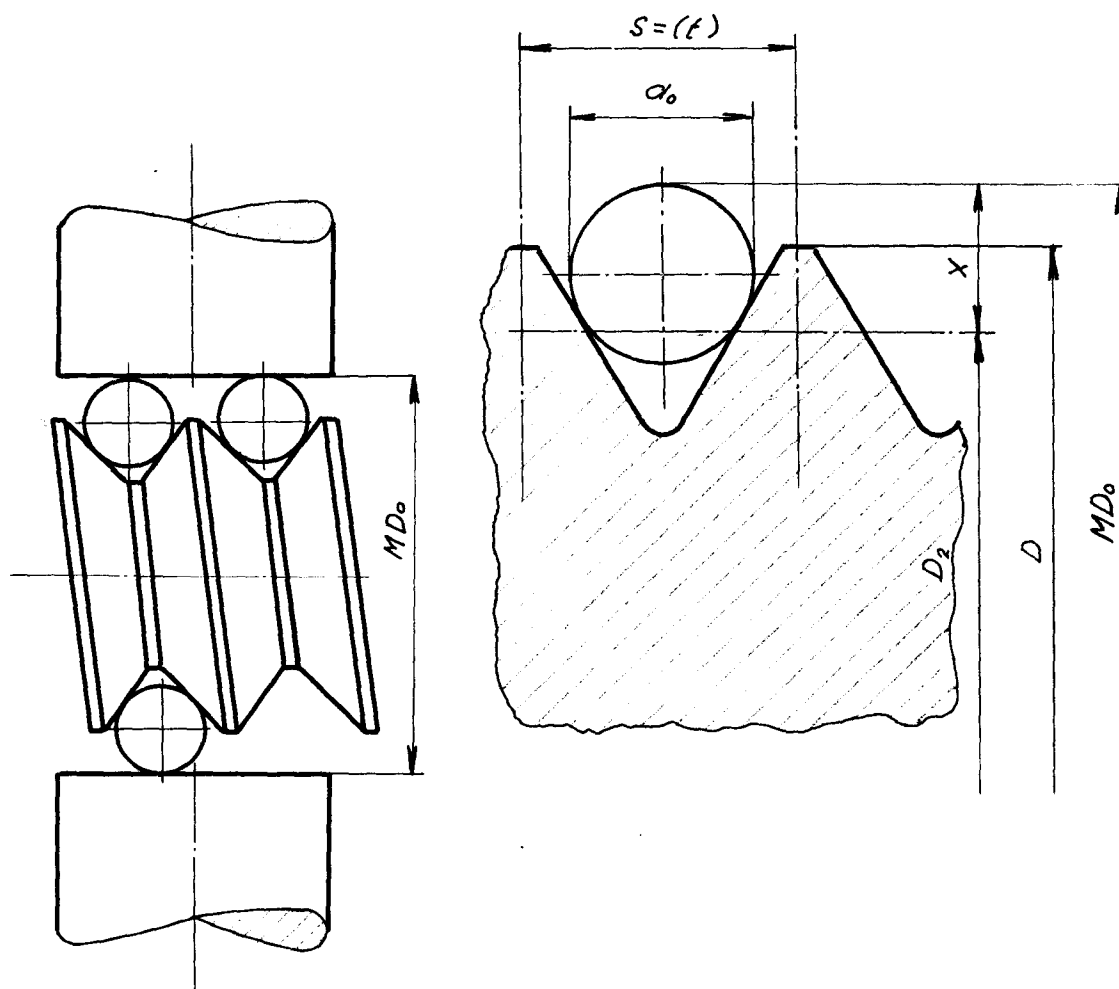
2/ se změnou stoupání

a matice upravené z bloku motoru 1000 MB, které byly běžně dostupné v AZNP Mladá Boleslav.

Způsoby měření závitu šroubu bylo prováděno: běžně měřením přes drátky a pro měření závitu matice bylo použito speciálního měridla AZNP Mladá Boleslav.

Měření přes drátky

Bylo prováděno pouze pro šrouby M 1C s normálním stoupáním /obr. 24/.



obr. 24

| Velký průměr D | stoupání $s=t$ | průměr drátku d_0 | Rozměr přes drátky | | $D_2 =$ $M D_0 - 2x$ |
|---------------------|-------------------|---------------------------|--------------------|-------|-------------------------|
| | | | $M D_0$ | $2x$ | |
| 10 | 1,5 | 0,895 | 10,414 | 1,388 | 9,026 |

Měření středního průměru závitu metic

Měřidlo pro měření středního průměru je zobrazeno na přiloženém výkresu V 1. Stoupání závitu šrcubu měřidla je rozdílné od stoupání závitu měřené matice. Šroub lze do zavitu volně našroubovat až po určitou délku "L", ze které se pak vhodným cejchováním určí velikost průměru D_2 . Zašroubování měrky se provádí kroužkem 4. Kroužek tící moment se přenáší kuličkou 8, přitlačovanou pružinou 7 na pouzdro 5. Pouzdro je spojeno s měřícím trnem 1 kolíkem 9. Trn se zašroubovává až do vymezení vůle, která je úměrná velikosti $\emptyset D_2$ matice; při dotahování měřidla se zatlačuje volně nasazené pouzdro 2 do objímky 3. Na cejchované stupnici značené na pouzdru 2 odebíráme přímo toleranci středního průměru D_2 .

Byla změřena sada šroubů s přesahem a sada se změnou stoupání. Z bloku motoru byly vyříznuty matice pro otvor klíče 28, aby bylo umožněno jejich připevnění do dynamometru. Byl vyroben přípravný nástavek /výkres V 2/, který je připevněn v dynamometru a do jeho výrezu šířky 28 se připevnily vyrobené matice. Uvedený dynamometr byl připevněn na stůl vrtačky se stavitelem otočným ramenem typu VR-4. Do vřetene vrtačky byl připevněn přípravek pro zatahování šroubu /výkres V 3/, který byl vyroben jako obdoba zatahovací hlavy pneumatického utahováku používaného v praxi.

| | | |
|-------------------|---|--------------|
| VŠST v Liberci | Ověřovací zkouška pevných závitových spojů v bloku motoru 1000 MB | DP - ST - 9 |
| | | 12. 12. 1964 |

Listů: 89 List: 44

Na stopce byl volně nasazen náboj se závitem M 10 SH 8. Tolerance osazení dříku a otvoru náboje umožňuje částečné vykyvování přípravku, čímž se vymezí nepřesnost uložení zkoušené matice. Přípravek je pojištěn střížným kolíkem Ø 4 z materiálu 11 600. Kolík zajišťuje aparaturu, aby nedošlo k porušení části měřidel.

Výpočet

Přenášený kroutící moment M_K

$$M_K = 71620 \frac{N}{n} \text{ kpcm}$$

Výkon motoru $N_m = 3 \text{ kW}$

Uvažované ztráty
v převodovce 20 %

Uvažovaný výkon $N = 2,2 \text{ kW} = 3 \text{ k}$

Otáčky vřetene $n = 250 \text{ rev/min}$

$$M_K = 71620 \frac{3}{250} = 858 \text{ kpcm} \approx 8,6 \text{ kpm}$$

 $N = 3 \text{ k}$ $n = 250$ $M_K = 8,6$

Na průměru 12 mm způsobuje moment M_K síla

$$T = \frac{M_K}{\frac{d}{2}} = 1430 \text{ kg}$$

 $T = 1430$

Pro bezpečnost se zvolí maximální povolený moment 6 kpm, který uvedeným kolíkem budeme pojišťovat.

$$T = \frac{6 \cdot 600}{6} = 1100 \text{ kg}$$

 $T = 1100$

V našem případě platí:

$$\tau_{dov} = \frac{T}{2F} \Rightarrow F = \frac{T}{2\tau_{dov}}$$

$$F = \frac{\pi \cdot d^2}{4} \quad d = \sqrt{\frac{4T}{2\pi \cdot \tau_{dov}}} = \sqrt{\frac{2T}{\pi \cdot \tau_{dov}}}$$

Dovolené namáhání ve smyku $\tau_{dov} = 0,6 - 0,8 \sigma_{dov}$

Dovolené namáhání v tahu $\sigma_{dov} = 60 \text{ kg/mm}^2$

$$\tau_{dov} = 0,7 \cdot 60 = 42 \text{ kg/mm}^2$$

 $\tau_{dov} = 42$

$$d = \sqrt{\frac{2 \cdot 1100}{\pi \cdot 42}} = 4,1 \text{ mm} \doteq 4 \text{ mm}$$

d = 4

Pojistný kolík byl zvolen 4 mm a má zajišťovat kroutící moment 6 kpm. Srovnání se skutečností na obr. 47, kde došlo k přestřížení kolíku, zjištujeme, že k této poruše došlo až při 7,2 kpm.

Nižší vypočítaný moment vyšel proto, že byly voleny nízké hodnoty. Jelikož však moment potřebný k přestřížení kolíku, je nižší než kroutící moment dosahovaný motorem, bude pojistka svou funkci plnit.

Použitý dynamometr pracuje v rozsahu 0 - 300 kpm / jak bylo dříve již uvedeno/. Snímače dynamometru jsou propojeny za sebou a tvoří s tensometrickou soustavou měřící jednotku. Zesílené impulsy se promítají na obrazovku duoskopu RFT. Druhý záznam duoskopu byl využit pro značení časové základny. Obrátky vřetene byly 250 n/min, tj. 4,18 n/sec, proto byla volena pro časoměr frekvence 41,8 Hz. Frekvence se získala pomocí časové lupy /časového generátoru/ s volitelnou frekvencí.

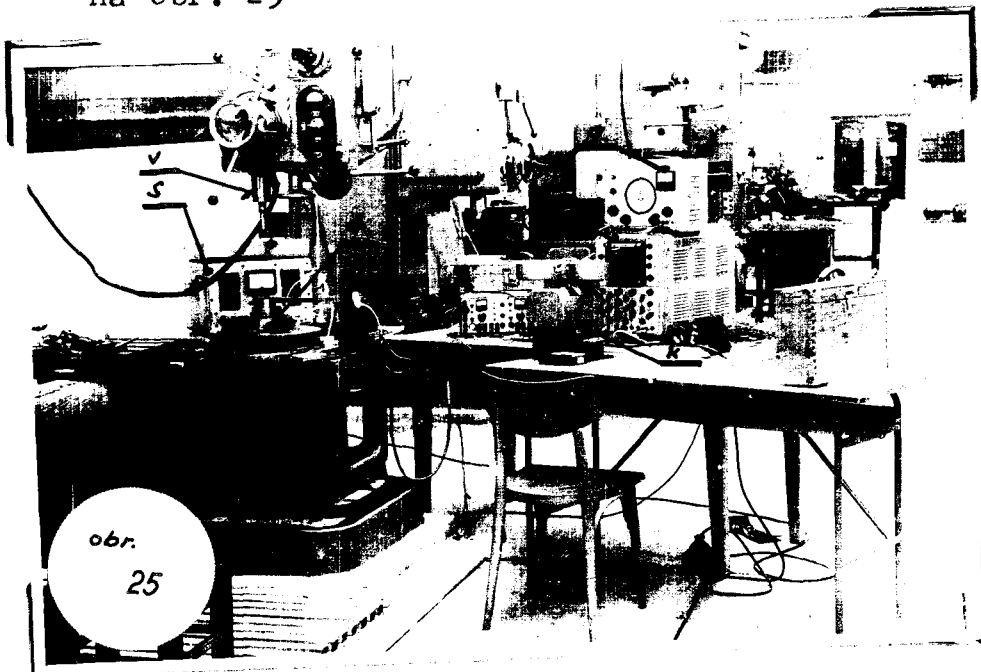
Otačky byly voleny dle skutečných otáček zatahovacích hlav, používaných v praxi:

| | |
|-----------------------------------|------------|
| hlava Bosch velikost 8 - 12 | 330 n/min |
| vzduchová hlava | 250 n/min. |

Výpočtem se zjistilo, že obsluhu bude možno provést bez zapojení aparatury pro automatické zastavování. Celá operace bude trvat 3 vteřiny, což pracovník plně stačí obsloužit.

Obraz z duoskopu byl zachycován filmovou kamerou MEOPTA FKP s plynulým posuvem filmu. Jelikož měření probíhalo při běžném provozu dílny, bylo nutno použít stabilizátoru napětí. Přesto se však nedosáhlo uspokojujících výsledků, proto bylo měření prováděno po pracovní době, kdy všechny stroje byly vyřazeny z provozu.

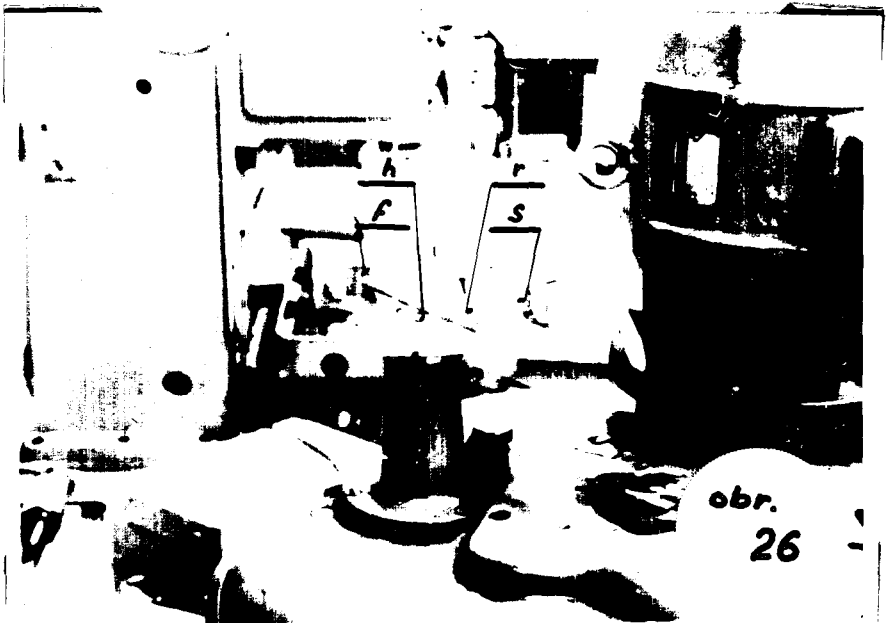
Uspořádání měřící aparatury je zachyceno
na obr. 25



- v ... vřeteno vrtačky s přípravkem
- d ... dynamometr
- t ... tensometrická souprava
- o ... duoskop RFT
- g ... časový generátor
- s ... stabilizátor
- k ... filmová kamera

Zanesení otáček do záznamu bylo provedeno zařízením, které navrhl zaměstnanec školy s. Gahut. Výrobě snímače otáček bylo použito magnetofonového snímače, který snímal impulsy magnetického feritu, zasazeného do ramene, které se otácelo shodně s vřetenem. Snímací zařízení je zobrazeno na obr. 26.

- s ... magnetofonový snímač
- r ... nosné rameno
- f ... ferit
- h ... hřídelík spojený se vřetenem



obr.

26

Záznam otáček byl prováděn dvojím způsobem:

- 1/ otáčky byly superponovány časové základně. Sledování otáček bylo dosti nejasné, momentový záznam byl však čistý.
- 2/ Otáčky byly superponovány momentovému záznamu. Takto provedený záznam zřetelně vytyčoval otáčky vřetene, ale byl porušen diagramem momentu. Při prováděném měření byla jednotlivě pro každé zatahování šroubu do matice provedena synchronizace otáček s náběhem závitu.

Abyste umožnili čtení zatěžujícího momentu na obrazovce osciloskopu, bylo nutné převést kpm na mm osc. Proto bylo provedeno cejchování dynamometry. Cejchovací rameno vychýlené o 1 mikrometr / 1 μ m vyvinulo moment 6,78 kpcm na dynamometr. Vychýlení ramene se provádělo pomocí pevně zabudovaného šroubu. Velikost výchylky byla měřena indikátorem. Naměřené hodnoty vychýlení v μ m se převáděly na mm osc, zaznamenávané výchylky na obrazovce osciloskopu, úměrné velikosti zatěžujícího momentu. Prováděné cejchování dynamometru je zobrazeno na obr. 27.

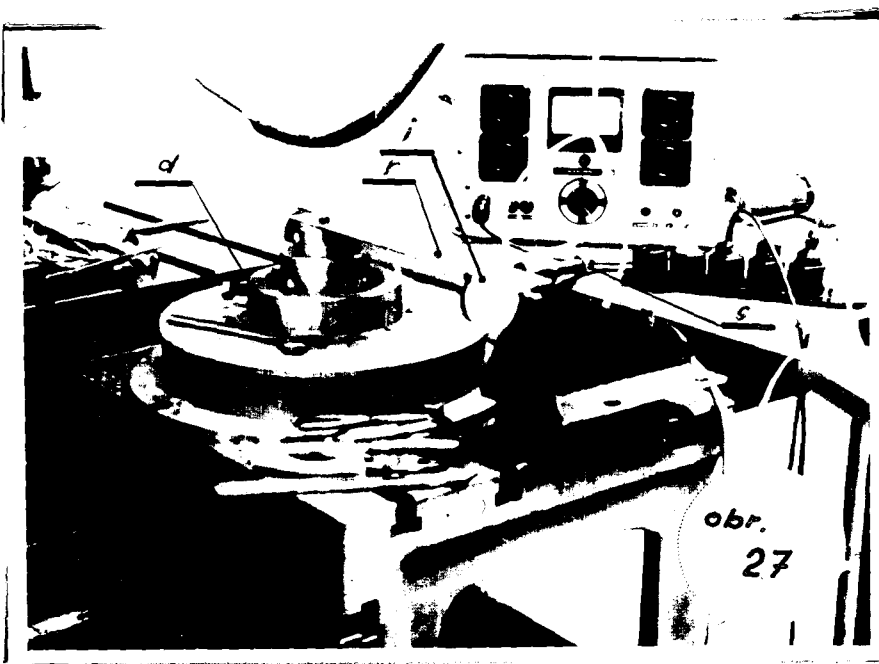
VŠST
v Liberci

Ověřovací zkouška
pevných závitových spojů v bloku
motoru 1000 MB

DP - ST - 9

12. 12. 1964

Listù: 89 List: 48



- d ... dynamometr
r ... cejchovací rameno
i ... indikátor
s ... zatěžující šroub

Cejchování bylo provedeno dvojí. Zvolené hodnoty mm osc pro šrouby s větším přesahem, byly pro malé přesahy nedostatečné. Proto druhé cejchování bylo provedeno pro dvojnásobné hodnoty.

1. cejchování

| | | |
|--------------------|-------|-------------------|
| 1 μm | | 6,78 kpcm |
| 1,49 μm | | 10 kpcm = 0,1 kpm |
| 14,9 μm | | 1 kpm |
| 74,5 μm | | 5 kpm |
| (149 μm | | 10 kpm) |

Při vynášení hodnot do grafu, sestrojeného jako závislost kpm - mm osc, se projevila nelinearita obrazovky osciloskopu, zaviněná vadou stínítka.

| | | |
|-------------------|---|--------------|
| VŠST v Liberci | Ověřovací zkouška pevných závitových spojů v bloku motoru 100C MB | DP - ST - 9 |
| | | 12. 12. 1964 |
| | Listo: 89 | List: 49 |

Lineární hodnoty jsou získávány pouze do 7,6 kpm, což vyhovuje, neboť v tomto rozsahu je měření prováděno.

| μm | kpm | mm osc |
|-----|-------|--------|
| 178 | 12,00 | 52,0 |
| 125 | 8,32 | 45,0 |
| 114 | 7,60 | 42,5 |
| 100 | 6,66 | 37,5 |
| 74 | 5,00 | 28,5 |
| 50 | 3,33 | 19,0 |
| 0 | 0 | 0 |

Vynesení grafu kpm - mm osc - μm je na obr. 28.

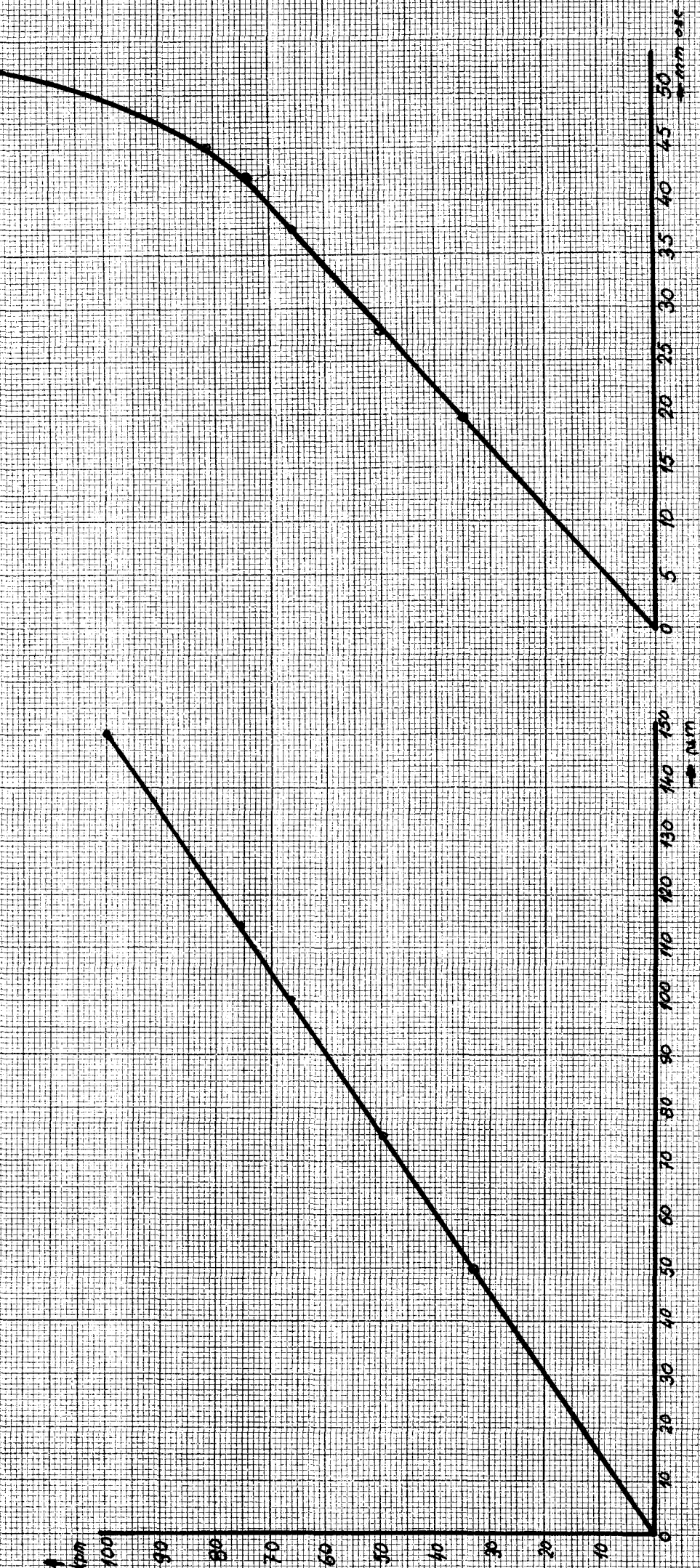
2. cejchování

| μm | kpm | mm osc |
|------|-----|--------|
| 74,0 | 5,0 | 34,0 |
| 67,5 | 4,5 | 30,0 |
| 60,0 | 4,0 | 27,5 |
| 52,5 | 3,5 | 23,0 |
| 45,0 | 3,0 | 19,0 |
| 37,5 | 2,5 | 17,0 |
| 30,0 | 2,0 | 12,5 |
| 22,5 | 1,5 | 10,0 |
| 15,0 | 1,0 | 7,5 |
| 7,4 | 0,5 | 3,5 |
| 0 | 0 | 0 |

Grafické znázornění závislosti μm - mm osc - kpm je na obr. 29. Filmový záznam 2. cejchu je na obr. 30.

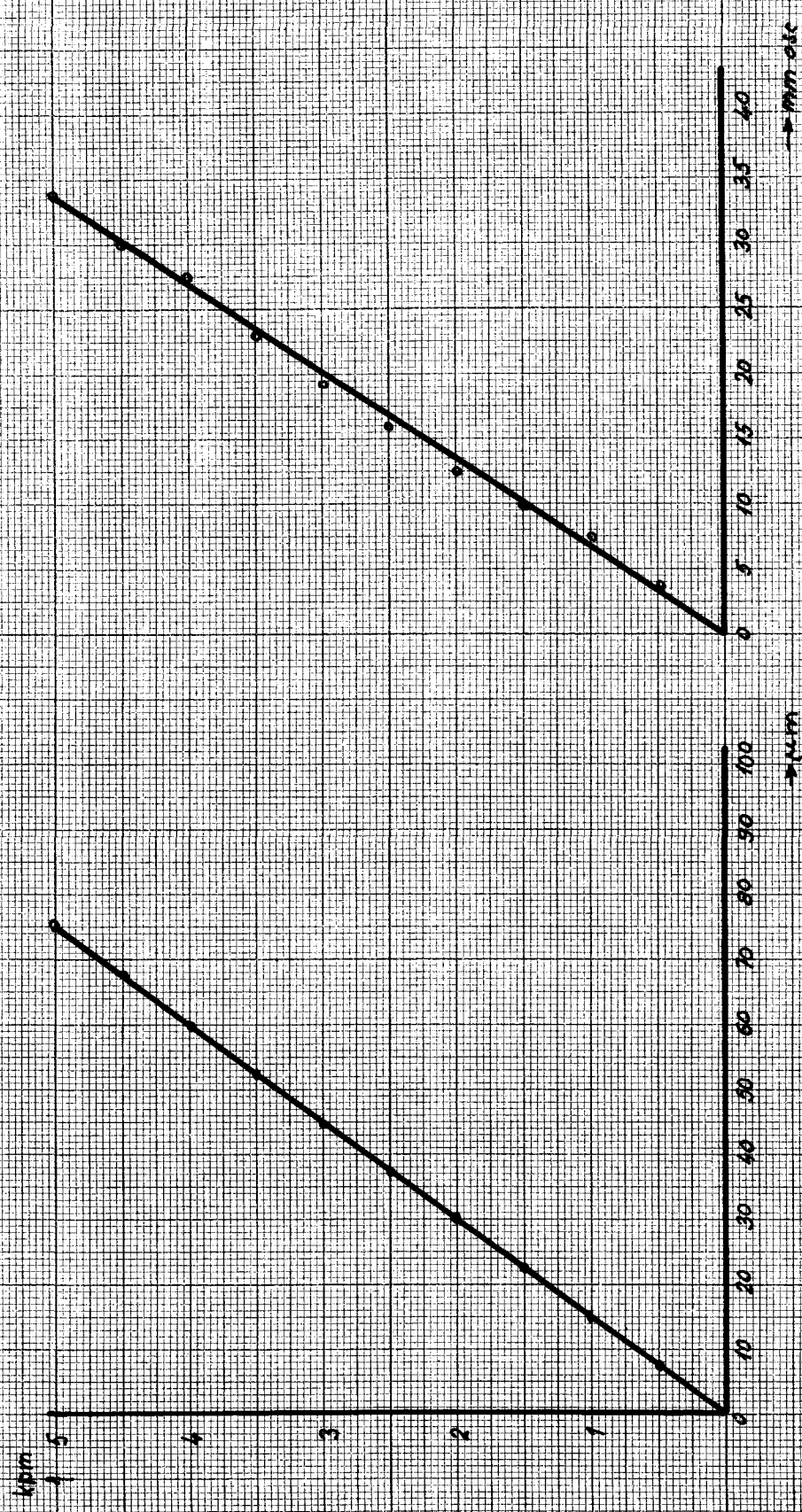
16/89 15/50

Obj. 28



list 29 List 57

obj. 29



VŠST
v Liberci

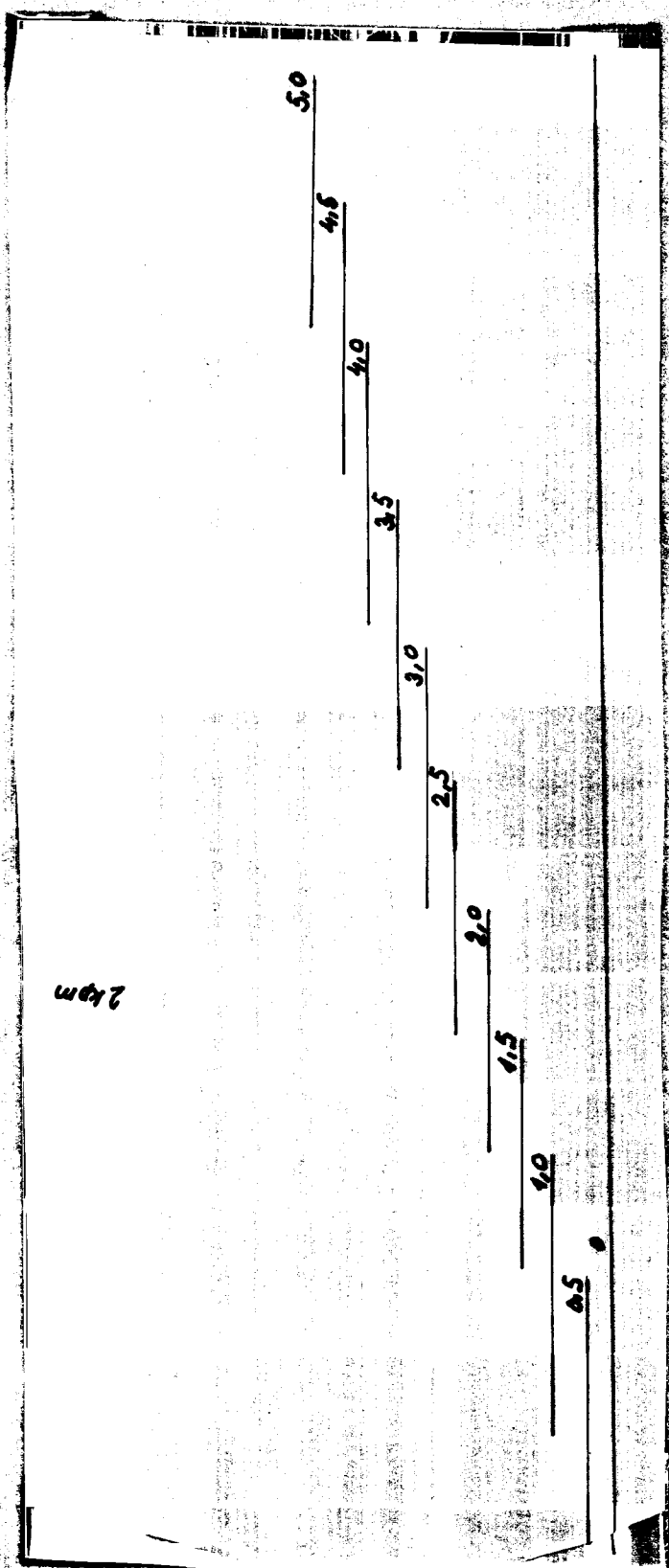
Ověřovací zkouška
pevných závitových spojů v bloku
motoru 1000 MB

DP - ST - 9

12. 12. 1964

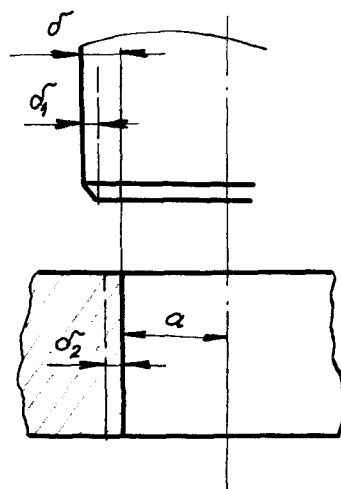
Mat. 89

Lit. 22



Matematický výpočet velikosti momentu, potřebného k zatažení šroubu s přesahem

Vychází se z předpokladu, že zatažení šroubu s přesahem lze uvažovat jako nališování čepu s přesahem do ocelového kroužku, obr. 31.



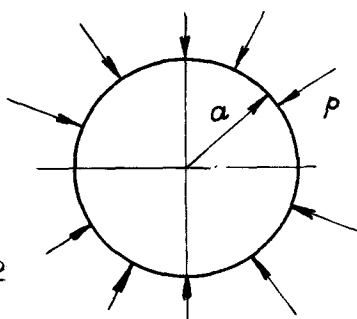
obr. 31

$$\text{Deformační podmínka} \quad \sigma = \sigma_1 + \sigma_2$$

σ_1 stlačení čepu

σ_2 roztažení otvoru.

Deformace čepu - platí stejná teorie jako pro tlustostěnnou nádobu, obr. 32.



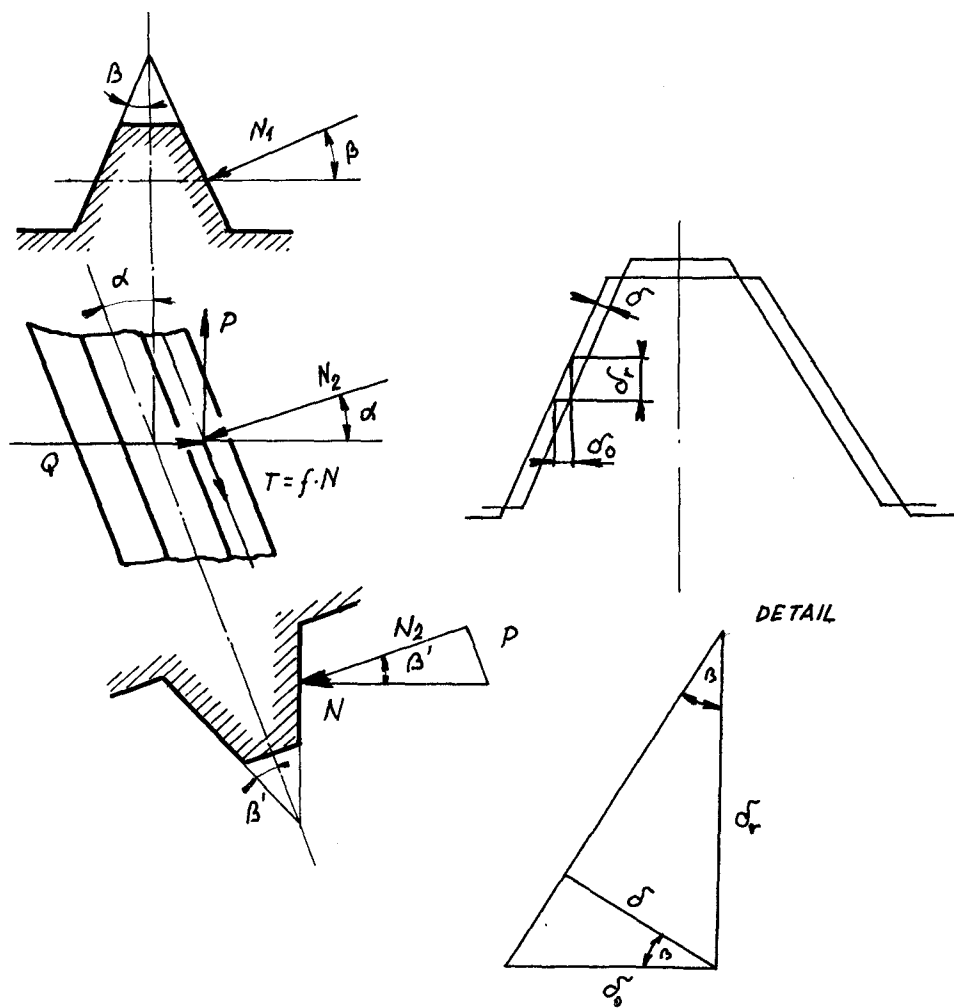
obr. 32

$$\sigma_r = A - \frac{B}{r^2}$$

A; B neznámé

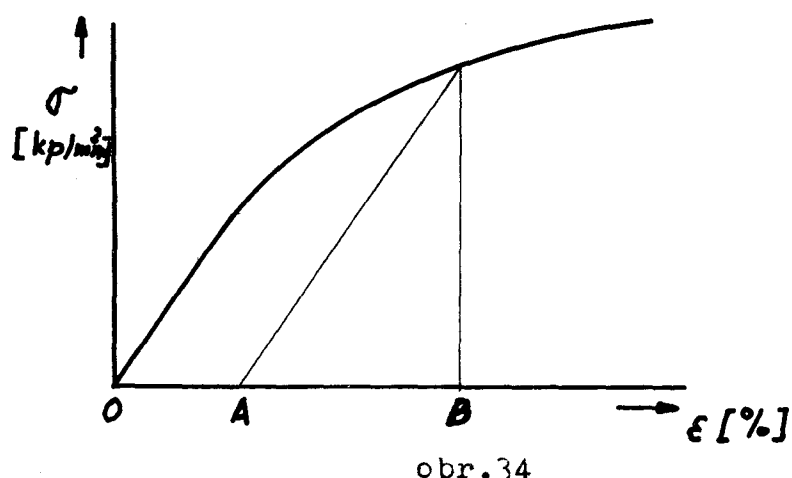
$$\sigma_t = A + \frac{B}{r^2}$$

| | | |
|---|---|--------------|
| VŠST v Liberci | Ověřovací zkouška pevných závitových spojů v bloku motoru 1000 MB | DP - ST - 9 |
| | | 12. 12. 1964 |
| | List: 89 | List: 54 |
| | | |
| Předpoklady : $r = 0 \dots \sigma_r = \sigma_t$ | | |
| Z důvodu rotační souměrnosti ani jedno napětí však není nekonečně veliké $\sigma_r \neq \infty$ | | |
| $\sigma_t \neq \infty$ | | |
| $B = 0$ | $A = -p$ | |
| $\sigma_r = -p$ | | |
| $\sigma_t = -p$ | | |
| $\epsilon_t = \frac{\sigma_1}{a}$ | | |
| $\sigma_1 = -a \cdot \epsilon_{t1} \frac{a(\sigma_t - \mu_1 \sigma_r)}{E_1} = \frac{a}{E_1} p (1 + \mu_1)$ | | |
| <u>Deformace otvoru</u> | $\sigma_r = A - \frac{B}{2}$ | |
| | $\sigma_t = A + \frac{B}{2}$ | |
| Předpoklady: $r = 0 \quad \sigma_r = -p$ | | |
| $r = \infty \quad \sigma_t = 0$ | | |
| $\sigma_r = -\frac{pa^2}{r^2}$ | | |
| $\sigma_t = +\frac{pa^2}{r^2}$ | | |
| $\sigma_2 = a \cdot \epsilon_{t2} = \frac{a}{E_2} (\sigma_t - \mu_2 \sigma_r) = \frac{a}{E_2} \left(\frac{pa^2}{a^2} + \mu \frac{pa^2}{a^2} \right) \frac{a \cdot p (1 + \mu_2)}{E^2}$ | | |
| $\sigma = \sigma_1 + \sigma_2 = p \cdot a \left(\frac{1 - \mu_1}{E_1} + \frac{1 + \mu_2}{E_2} \right) = \frac{pa}{E_1 E_2} \cdot [E_2 (1 - \mu_1) + E_1 (1 + \mu_2)]$ | | |
| z toho $p = \frac{\sigma \cdot E_1 \cdot E_2}{a [E_2 (1 - \mu_1) + E_1 (1 + \mu_2)]}$ | | |
| Tím byla získána závislost tlaku "p" na přesahu $p = f(\sigma)$. | | |
| Výpočet přesahu σ proveden z obr. 33. | | |



obr.33

Vše počítáme za předpokledu, že platí zákon
o odlehčení plasticky deformovaného kovu, obr.34 [15]



obr.34

OB ... celková deformace

OA ... pruzná deformace

AB ... plastická deformace

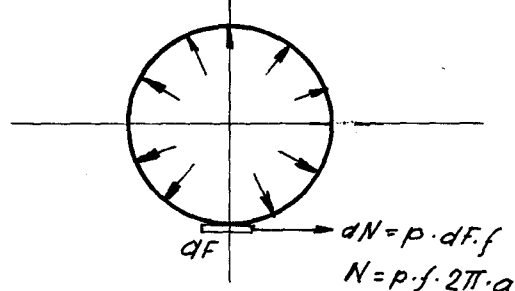
Zákon platí pro libovolný stupeň deformace,
nenastalo-li během tváření zotavení nebo
stárnutí. /15/

Pro usnadnění výpočtu byly provedeny před-
poklady $\alpha = 0$ a tím $\beta = \beta' = 30^\circ$

σ_r ... přesah na středním průměru

$$\sigma = \sigma_r \cdot \sin \beta = 0,5 \cdot \sigma_r = \frac{\sigma_r}{2}$$

Je potřeba ještě získat závislost
 $p = f(M_K; f)$ /obr. 35/



obr. 35

$$M_K = N \cdot a \cdot h \quad h \text{ ... hloubka zalisovaného čepu}$$

$$M_K = p \cdot f \cdot 2\pi a^2 \cdot h = \frac{2\pi a^2 f \cdot h \cdot \sigma \cdot E_1 \cdot E_2}{a(E_2(1-\mu_1) + E_1(1+\mu_2))}$$

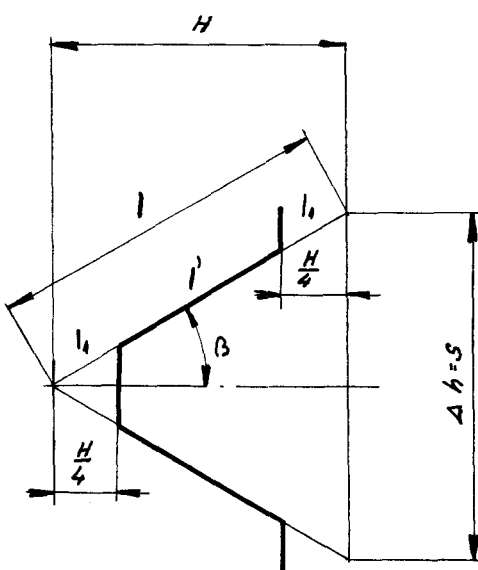
$$M_K = \frac{2\pi a f h \cdot \sigma \cdot E_1 \cdot E_2}{E_2(1-\mu_1) + E_1(1+\mu_2)}$$

Koefficient tření u závitových spojů je v rozmezí 0,05 - 0,36 /12/, uvažujeme-li i nově zavedené kovy a slitiny.

Pro spojení ocel - hliníková slitina při su-
chém tření je třeba zvolit $f = 0,15$.

Hloubku "h" je nutno určit jako redukovanou
výšku napřímeného závitu.

Určení hloubky "h": - obr. 36



obr. 36

Nejdříve je třeba určit velikost H.

$$l = \frac{S/2}{\sin \beta} = \frac{H}{\cos \beta}$$

$$H = \frac{S/2}{\sin \beta} \cdot \cos \beta = \frac{0,75}{0,5} \cdot 0,866$$

$$H = 1,299 \approx 1,3$$

velikost "l" určíme:

$$l = \frac{H}{\cos \beta} = \frac{1,3}{0,866} = 1,5 \text{ mm}$$

$$l_1 = \frac{H}{4 \cdot \cos \beta} = \frac{1,3}{4 \cdot 0,866} = 0,38$$

| | | | |
|-------------------|---|--------------|----------|
| VŠST v Liberci | Ověřovací zkouška pevných závitových spojů v bloku motoru 1000 MB | DP - ST - | 9 |
| | | 12. 12. 1964 | |
| | | List č: 89 | List: 58 |

$$l' = l - 2l_1 = 1,5 - 0,76 = 0,74 \text{ mm}$$

$$\Delta h_{red} = 2 l' = 1,48 \pm 1,5 \text{ mm}$$

$$h_{red} = 11 \cdot \Delta h_{red} = 16,5 \text{ mm}$$

$$h_{red} = 16,5$$

Moduly pružnosti v tahu jsou pro ocel

$$E_1 = 2,1 \cdot 10^4 \text{ kg/mm}^2$$

$$\text{pro slitinu Al } E_2 = 0,76 \cdot 10^4 \text{ kg/mm}^2$$

Porsonův poměr příčné kontrakce je

$$\text{pro ocel } \mu_1 = 0,5$$

$$\text{pro houževnaté materiály } \mu_2 = 0,3$$

pro poloměr "a" byl brán střední poloměr závitu.

Aby bylo možno kontrolovat jednotlivé případy, které byly měřeny, je třeba sestavit vzorec pro zatahovací moment jako součin konstanty a přesahu středního průměru / σ_r .

$$M_K = \frac{2\pi a f h \frac{\sigma_r}{2} \cdot E_1 \cdot E_2}{E_2 (1 - \mu_1) + E_1 (1 + \mu_2)} = \\ = \frac{2\pi \cdot 4,51 \cdot 0,15 \cdot 16,5 \cdot \frac{\sigma_r}{2} \cdot 2,1 \cdot 10^4 \cdot 0,76}{0,76 \cdot 10^4 \cdot (1 - 0,5) + 2,1 \cdot 10^4 \cdot (1 + 0,3)}$$

$$M_K = 179 \cdot \sigma_r \text{ [kpm]}$$

Při výpočtech budeme uvažovat $M_K = A \cdot \sigma_r$.

$$A = 179$$

$$A = 179$$

Uvedený výpočet nelze uvažovat jako směrodatný pro nízké přesahy, neboť při nulovém přesahu by výpočtově vycházel nulový zatahovací moment, což neodpovídá skutečnosti.

| | | |
|-------------------|---|--|
| VŠST v Liberci | Ověřovací zkouška pevných závitových spojů v bloku motoru 100C MB | DP - ST - 9 12. 12. 1964 List: 89 List: 59 |
|-------------------|---|--|

1/ Šrouby s normálním stoupáním s přesahem
středního průměru

Byly použity matice s plusovou úchylkou středního průměru v toleranci SH 4 /povolená maximální úchylka + 56 μm/ a šrcuby různého přesahu.

Na obr. 37 je znázorněno zatahování šroubu v toleranci Sh 3 a s přesahem + 35 μm do matice s uvolněním + 30 μm. To znamená, že byl ve spojení místní přesah.

K zašroubování bylo též potřeba minimálního zatahovacího momentu. Zajímavostí bylo, že při zpětném chodu stroje se spojení neuvolňovalo v unašeči, kde jsou voleny tolerance SH 8/ Sh 8, ale v matici, což znamená, že ve spojení šroubu s unašečem byl větší přesah. Jelikož v záznamu momentu se objevily slabé pulsace, byla uvolněná matica rozříznuta. Fotografie vnitřku závitu je na obr. 38. V 5., 6., a 7., závitu zleva jsou zřejmě částečky materiálu matice, které byly ze závitu vytrženy a znova na jiném místě zatlačeny. Tato nečistota asi způsobila kolísání momentu. Po zatlačení materiálu se kolísání zmenšuje.

Jelikož při zatahování spoje bez přesahu by mělo dojít pouze k pružným deformacím, bylo na šroubu s přesahem + 30 μm a matici s vůlí + 30 μm provedeno dvojí utahování. Na obr. 39 je zanesen moment 1.zatahování a na obr. 40 opětné povolení. Opanované zatahování je na obr. 41. Zajímavé je, že došlo ke vzrůstu kroutícího momentu o 33 %.

| | | | |
|--|---|--------------|----------|
| VŠST v Liberci | Ověřovací zkouška pevných závitových spojů v bloku motoru 100C MB | DP - ST - 9 | |
| | | 12. 12. 1964 | |
| | | List: 89 | List: 60 |
| <p>Po prošetření vnitřku matice byly zjištěny poruchy povrchu boku závitu.</p> <p>Na obr. 42 je zobrazena velikost momentu při opětném uvolnění uvedeného šroubu. Během jedné obrátky nastalo vlastní odtržení; během dalších šesti obrátek kroužící moment pozvolna klesal a zbývajících pět chodů bylo vyšroubováno s téměř neměnitelným momentem.</p> <p>Na obr. 43 je znázorněn diagram zatahovacího momentu šroubu s přesahem + 55 μm /tj. horní hranice Sn 2/ a matice + 30 μm. Zajímavé je, že moment proti zatahování šroubu bez přesahu nikterak markantně nevzrostl. Proto provedu porovnání případu s výpočtem:</p> <p>$M_K = A \cdot \sigma_r = 179 \cdot 0,0125 = 2,2 \text{ kpm}$, což neodpovídá skutečnosti. Dá se usuzovat z obrázku, že přesah byl zaručen v matici pouze v pěti závitech.</p> <p>Na obr. 44 je zachycen průběh zatahovacího momentu šroubu s extrémním přesahem + 92 μm s maticí + 30 μm. Spodní hranice odpovídá normě GOST a horní hranice je dle ČSN. Se vzrůstající hloubkou zašroubování vznikla pulsující změna kroutícího momentu, odpovídající přesně frekvenci otáček.</p> <p>Na obr. 45 je řez zkoumaným závitem. Řez byl vybroušen na diamantovém brusu. Při opracování plochy dochází k poruše mezer sledovaného závitu.</p> | | | |

Je možno mezery závitu upravit, což by však ovlivňovalo posuzování. Proto je lepší sledovat řez bez úpravy a s eventuálními poruchami obrazce počítat.

U sledovaného závitu je v řezu zřejmě, že šroub v matici je vyosen. Na obrázku jsou levé horní závity s vúlí. Vúle je zřejmá i u závitu v pravé dolní části obrázku, i když je menší. Na zvětšeném obrázku 46 jsou poslední spodní závity / 9., 10., 11./. Je zde zřejmá uvedená vúle. Osa šroubu a osa matice byly zřejmě nepatrně odkloněny při zatahování. Zkoumáním náběhu kuželesho šroubu se zjistilo, že je nepřesně vyroben. Tím bylo způsobeno, že první závity byly nerušeny a třísky z matice byly zataženy do závitu, kde byly zatlačeny. To způsobilo odklon šroubu, který se s postupným zatahováním více odkláňel a narušoval dále matici. Odřezaný materiál byl natlačován do mezer tvořících vúli, která se odkloněním stále zvětšovala.

Na obr. 47 je znázorněn graf zatahovacího momentu šroubu s přesahem + 70 μm do matice s tolerancí + 30 μm . Bylo provedeno zatahování až do výběhu. Došlo k ustřížení pojistného kolíku přípravku. Na grafu je možné sledovat dvojnásobné stoupení momentu po dobu dvě a půl obrátky. Z obrázku lze možno provést vyhodnocení výpočtu střížného kolíku přípravku.

Uvedené zatahování do výběhu je doporučováno normou DIN.

Na obr. 48 je možné sledovat průběh momentu při povolování. Unašeč byl na šroubu pojištěn kontramaticí. Při zatěžování však k povolení nedošlo. Byl překonán odpor kontramaticice, ta byla v závitu deformována a šroub se opět uvolnil v unašeči. Dá se usuzovat, že došlo ve zkoušeném spojení k zadření.

Na obr. 49 je řez uvedeným spojením. Závitové spojení nevykazuje boční vůle. Závit matice však nevykazuje ani předepsanou vůli horního průměru, což je patrno i z detailu prvního, druhého a třetího závitu, obr. 50. Předpokládané zadření však šroub nevykazuje. Z detailního obrázku by se dalo usuzovat, že uvedený přesah je nevhodnější pro uvedené materiály šroubu a matice.

Při závitovém spojení s přesahem se počítá s pružnou deformací materiálu. Proto se doposud v normách nezvětšovala tolerance horních průměrů závitů. Pro usnadnění názornosti byl nakreslen zvětšený šroub /SKIZZA 1/ a zvětšený závit matice /SKIZZA 2/. Přiložením výkresů přes sebe můžeme provést vyhodnocení přesahu. Vůle v horních závitech je opravdu malá. Z doposud uvedených obrázků závitů vidíme, že nedochází k pružné deformaci a tím se nezaručí vůle horních průměrů závitů.

Na obr. 46 bylo zjištěno, že materiál matice byl odříznut a natlačen do mezer. K poruše povrchu závitu dochází zřejmě při každém zatahování šroubu s přesahem do uvedeného materiálu. Potvrzuje to i záznam na obr. 39 a 41, kde podle nulového přesahu mělo dojít k pružným deformacím, ale při druhém zatahování však moment vzrostl.

Aby bylo možno posoudit možnost mechanického porušení povrchu závitu matice, byla rozříznuta matice ještě nepoužitá. Pohled na profil závitu je na obr. 51. Dá se tvrdit, že povrch závitu vykazuje částečné nepřesnosti, které mohou způsobit zachycení materiálu zatahovaným šroubem.

Sestavíme-li ze získaných hodnot diagram, obdržíme závislost zatahovacího momentu na přesahu. Diagram je na obr. 52 a na obr. 53 je pro srovnání diagram dřívějších měření, prováděných jednoduchými ručními měřidly.

2/ Šrouby s vůlí se změnou stoupání závitu

Jedná se o šrouby, jejichž úchylka ve stoupání je $-0,015 \text{ mm/l závit}$. Střední průměr závitu šroubu je v toleranci

$+ 25 \mu\text{m}$
 $- 57 \mu\text{m}$.

Šrouby byly vyrobeny válcováním z průměru $\varnothing 9 \text{ h } 7$. Tím se stalo, že velký průměr závitu byl v toleranci $\varnothing 10^{+0,0}_{-0,3}$.

Postup měření šroubů a matic zůstává stejný jak u měření závitu spojení s přesahem. Rozdíl je pouze v míře přes drátky, která změnou stoupání vzrosté na $M_{D0} = 10,427 \text{ mm}$. Byla provedena měření pro různé tolerance středního průměru šroubu.

Na obr. 54 je zobrazen průběh zatahovacího momentu šroubu s úchylkou $-47 \mu\text{m}$ do matice s tolerancí $+40 \mu\text{m}$. Velikost zatahovacího momentu je 1 kpm. Dle zatahovacího momentu se dá spoj porovnávat se šrouby bez vůle a bez přesahu, které vykazují jen pružnou deformaci.

| | | |
|-------------------|---|--------------|
| VŠST v Liberci | Cvěřovací zkouška pevných závitových spojů v bloku motoru 1000 MB | DP - ST - 9 |
| | | 12. 12. 1964 |
| | List: 89 | List: 64 |

Proto byl šroub vyšroubován /obr.55/ a opět-
ně zašroubován /obr.56/. Moment nevykazoval
téměř žádný vzrůst, byl proto šroub zajištěn
v unašeči a provedeno měření opětného vyšrou-
bování /obr.57/. Moment byl téměř nulový.

Proces byl ještě dvakrát opakován. Ke zvýšení
zatahovacího momentu došlo až při najetí
do výběhu /obr.58 a 59/. Po vyjmouti matice
z přípravku byl šroub našroubován rukou bez
klíče do profilu matice.

Řez tímto spojením je na obr. 60. Mezi jed-
notlivými závity šroubu a matice je nepatr-
ná vůle, která vznikla zřejmě vyříznutím ma-
teriálu matice a tím se spoj zřejmě uvolnil.
Byl vybrán jiný spoj se stejným přesahem
/šroub - 47 μ m, matice + 40 μ m/ a zatahová-
ní bylo opakováno. Bylo však použito oleje,
jako maziva. Záznam zatahovacího momentu
nevykazoval podstatné změny /obr.61/. Řez
spojem /obr.62/ však jasně ukazuje, jak do-
chází k odrezávání materiálu matice. Jasně
je uvedený fakt zřejmý z prvních závitů, je-
jichž detail je na obr.63. Z uvedených ob-
rázků možno konstatovat, že ve spoji nedochá-
zí k plastické ani pružné deformaci, ale
k porušení závitu matice.

Byly nalezeny ještě další šrouby a matice
pro stejný přesah a prováděly se zkoušky
při natření šroubu hermetikem, při deformaci
šroubu a při nečistotě v matici. Ze zmínku
stojí případ s nečistotou v matici. Při zata-
hování v tomto případě moment měrkantně stou-
pl, obr. 64. Řez spojením ukazuje důvod.
Vložená tříška do závitu matice způsobila
posunutí šroubu mimo závit a šroub si doslo-
va vyrezal vlastní nový závit, obr. 65.

| | | |
|---------------------------|--|---------------------|
| VŠST v Liberci | Cvěřovací zkouška pevných závitových spojů v bloku motoru 1C00 MB | DP - ST - 9 |
| | | 12. 12. 1964 |

| | |
|-----------------|-----------------|
| List: 89 | List: 65 |
|-----------------|-----------------|

Na obr. 66 je detail střední části spoje, kde je vidět deformovaný závit matice. Uříznutá část byla pěchována za závit šroubu. Na obr. 67 je detail začátku šroubu, který právě odřízl část materiálu matice, třísku ohýbá a pěchuje pod hlavu. Tento případ je pouze uveden jako zajímavost měření, neboť v současné praxi jsou čistící metody závitu již tak dokonalé, že se nedá předpokládat možnost výskytu jakékoliv nečistoty v matici. K této deformaci by mohlo dojít jedině při demontáži a opětné montáži laikem.

Dále byly provedeny záznamy momentů pro jednotlivé tolerance šroubu.

| | |
|--------------------|--------------------|
| obr. 68 ... šroub | - 7 μm |
| matice | + 50 μm |
| tolerance | 57 μm |
| velikost zatahova- | |
| cího momentu | 1,4 kpm |

| | |
|-------------------|--------------------|
| obr. 69 ... šroub | + 3 μm |
| matice | + 45 μm |
| tolerance | 42 μm |
| zatahovačí moment | 1,6 kpm |

Při povolování utahovací klavy se šroub povolil v matici, nikoliv v unašeči. Proto bylo provedeno opětné utahování, obr. 70. Moment byl opět mizivý, stoupal až u posledního závitu, kdy bylo zřejmě zatahováno do pokračování závitu, který nebyl prvním utahováním zasažen.

| | |
|-------------------|--------------------|
| obr. 71 ... šroub | + 3 μm |
| matice | + 10 μm |
| tolerance | 7 μm |
| velikost momentu | 2 kpm . |

| | | |
|---|---|--|
| VŠST v Liberci | Ověřovací zkouška Pevných závitových spojů v bloku motoru 10CC MB | D P - S T . 9 12. 12. 1964 Listů: 89 List: 66 |
| | | |
| Pro velikost momentu byla vzata hodnota před najetím do výběhu, kdy velikost momentu dvojnásobně stoupla. | | |
| Pro posuzení vlivu změny stoupání byl nakreslen zvětšený šroub /skizza 3/, který můžeme překrytím výkresu matice /skizza 2/ dokonale posoudit. | | |
| Pro vyhodnocení velikosti vůle mezi středním průměrem šroubu a středním průměrem matice v závislosti na zatahovacím momentu byl sestrojen diagram, zobrazený na obr.72. | | |

| | | |
|-------------------|---|-------------------|
| VŠST v Liberci | Cvěřovací zkouška pevných závitových spojů v bloku motoru 1000 MB | DP - ST - 9 |
| | | 12. 12. 1964 |
| | | List: 89 List: 67 |

Závěr

Hodnotíme-li zkoušené závitové spoje, musíme konstatovat, že oba způsoby vykazují značné množství nedostatků:

- 1/ Nedostatek šroubů s přesahem v toleranci Sn 3, zatahovaných do matic SH 6 /SH6 je voleno výrobci pro snazší výrobnost závitu matice. Jinak je nutno uvažovat vždy SH 4./ je ten, že při eventuelní výli, která při tomto uložení může nastat, klesne zatahovací moment pod hodnotu 0,5 kpm, což je nevhovující. U šroubů se změnou stoupání neklesne hodnota momentu pod 1,0 kpm /porovnání obrázků 52 a 72/. Nutno však poznat, že ani moment 1,0 kpm není dostačující pro zaručené pevné spojení. Chceme-li dosáhnout plánované hranice momentu 2 kpm, nutno počítat s eventuelním zatažením do výběhu. Cproti tomu šrouby s přesahem Sn 3 vykazují maximální zatahovací moment 5,5 kpm, který je dosti vysoký při použití pneumatické utahovací hlavy.
- 2/ Výhoda šroubů s rozdílným stoupáním proti šroubům s přesahem je počáteční výle, která umožňuje snadné našroubování těchto šroubů do prvních závitů matice.
- 3/ Nevýhoda obou způsobů je odřezávání materiálu. Při zatahování šroubů s přesahem vykazují matice částečnou pružnou deformaci, která při zatahování šroubů s rozdílným stoupáním výběc nenastane. Odřezávání materiálu matice v tomto případě úplně znehodnocuje závit a odbourává možnost vyměnitelnosti.

- 4/ Z technologického hlediska obtížnosti výroby šroubu lze pokládat oba způsoby jako rovno- cenné, neboť oba se mohou vyrobit válcováním.
- 5/ Vybavení strojového parku je pro výrobu šroubů se změnou stoupání potřeba větší. Je nutno uvažovat s výrobou zvláštních válcovacích kotoučů s odlišným stoupáním a úpravou brusky: a/ buď vybavením korekčního zařízení b/ či úpravou převodu mezi vřetenem a vodícím šroubem.
- 6/ Poškozením závitu matice při použití šroubu se změnou stoupání, je odbourána možnost vyměnitelnosti. Ačkoliv blok motoru 1CO0 MB je řešen tak, že v žádném případě není nutné vyšroubovávat uvedené šrouby, je nutno počítat s možností zavedení šroubů s rozdílným stoupáním v jiných případech, kde by demon- táž znamenala znehodnocení celé součástky.
- 7/ Nevýhoda pro malospotřebitele je při použití šroubů se změnou stoupání ta, že není schopen si nechat běžně vyrobit v opravně uvedený šroub, a tak je plně odkázán jen na získání originálních dílů. Nehledě k tomu, že malospotřebitel bývá obvykle laik, který nebude zkoumat závrtový šroub a použije běžný z řady.

Nakonec je nutné podotknout, že provedená měření byla sice prováděna na 40ti kusech vzorků, ale že shodných přesahů či vůlí bylo pro jednotlivé případy málo. Je nutné provést ještě řadu měření se stejnými rozměry, která by potvrdila správnost nejen naměřených hodnot, ale i postupu z hlediska statistické přesnosti.

Je potřeba ještě provést zkoušku při dynamickém namáhání. Zatěžovat šroubové spojení pulsujícím tahem při frekvenci cca 3 Hz / sec. Uvedená zkouška nebyla pro nedostatek času provedena.

Ve zkouškách se změnou stoupání šroubu by bylo vhodné pokračovat. Bylo by třeba prozkoumat různé velikosti stoupání závitu a hlavně jiné materiály. Dá se předpokládat, že problémy vzniklé při použití matice ze slitiny Al budou podstatně jiné pro matici příkladně ocelovou. Toto zkoumání pevných závitových spojů se ubírá nesporně jiným směrem, než závitové spojení s přesahem. Jeho zkoumání může objevit úplně jinou cestu řešení těchto spojů, technologicky nenáročnou a plně vyhovující.

Při sestavování norem je nutno zvolit takové spojení, které by vyhovovalo v co nejširší míře, bez ohledu na potíže. Všem se nám jedná o spokojenost zákazníka, o dobré jméno tovární značky a hlavně o dobrý zvuk československých výrobků ve světě.

V Š S T
v Liberci

Ověřovací zkouška
pevných závitových spojů v bloku
motoru 1000 MB

DP-ST-9

12.12.1964

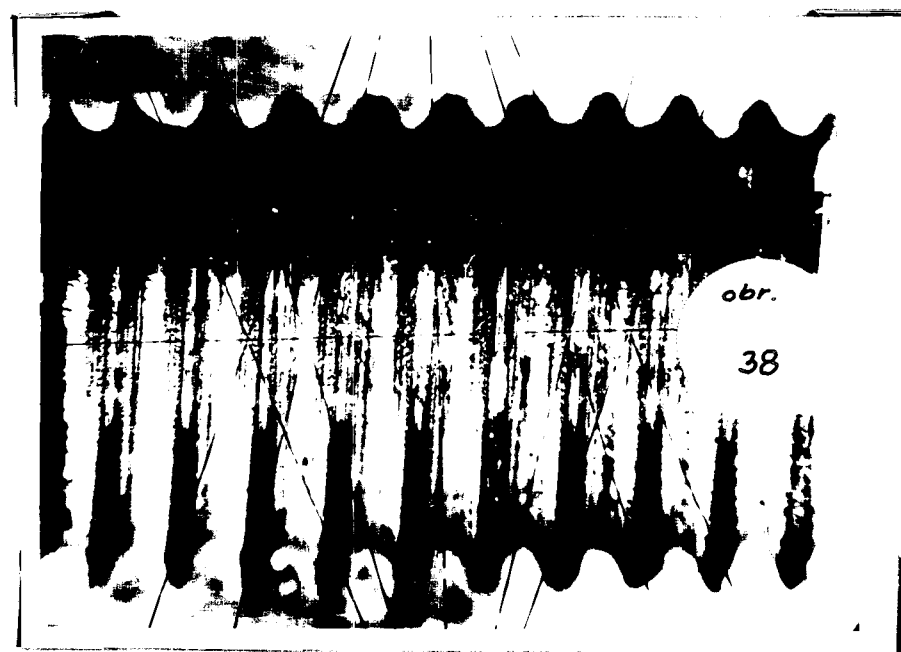
List č. 89 List 70

2kpm

2

1

0



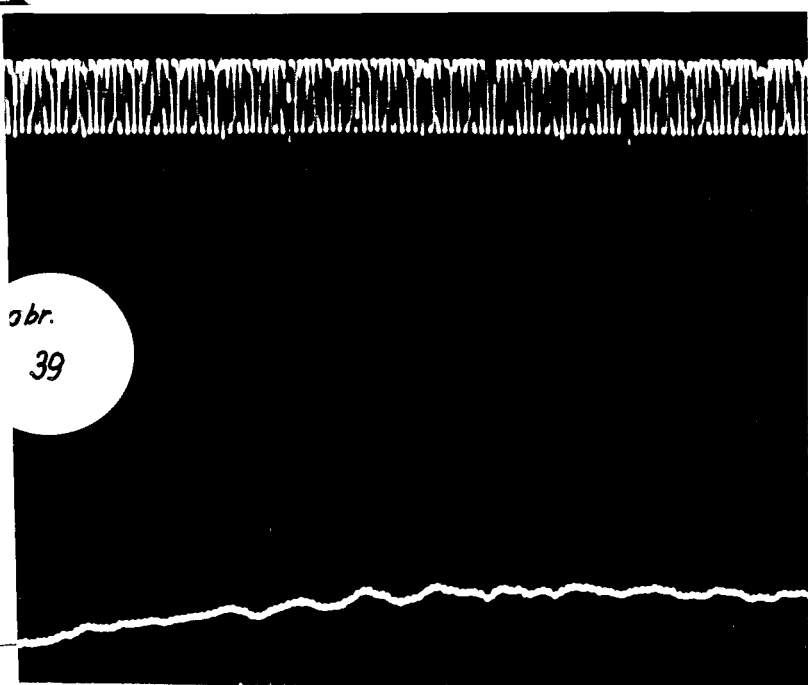
V S S T
v Liberci

Ověřovací zkouška
pevných závitových spojů v bloku
motoru 1000 MB

DP-ST-9

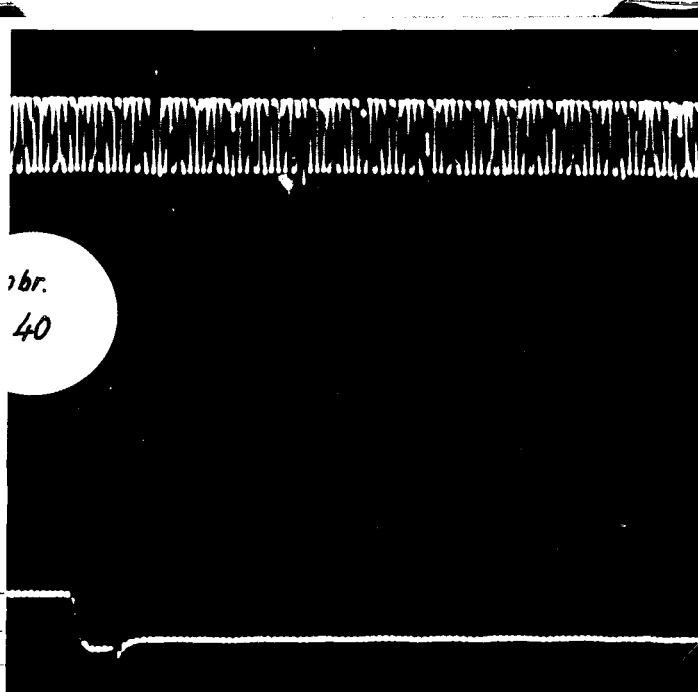
12.12.1964

Listů 89 List 71



obr.
39

obr.
40



V S S T
v Liberci

Ověřovací zkouška
pevných závitových spojů v bloku
motoru 1000 MB

DP-ST-9

12.12.1964

Listů 89

List 72

MAX

br.

41

br.

42

V S S T
v Liberci

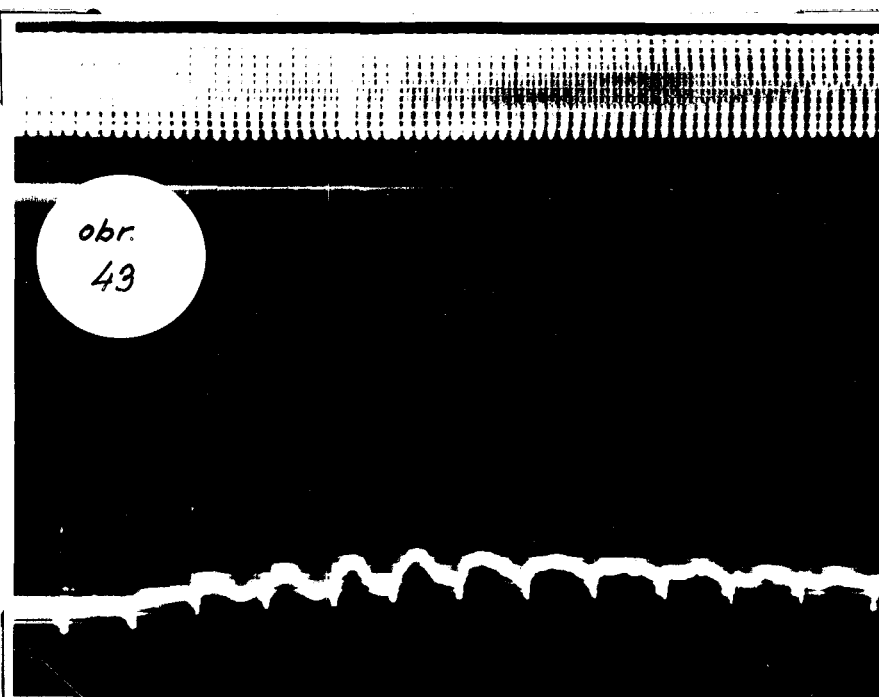
Ověřovací zkouška
pevných závitových spojů v bloku
motoru 100C MB

DP-ST-9

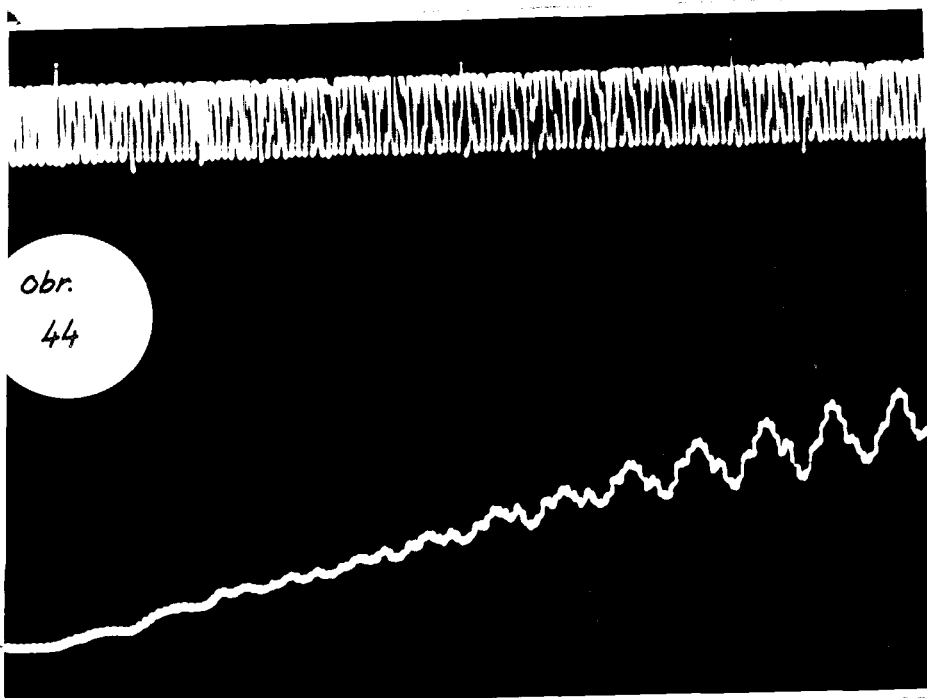
12.12.1964

List 89 List 73

obr.
43



obr.
44



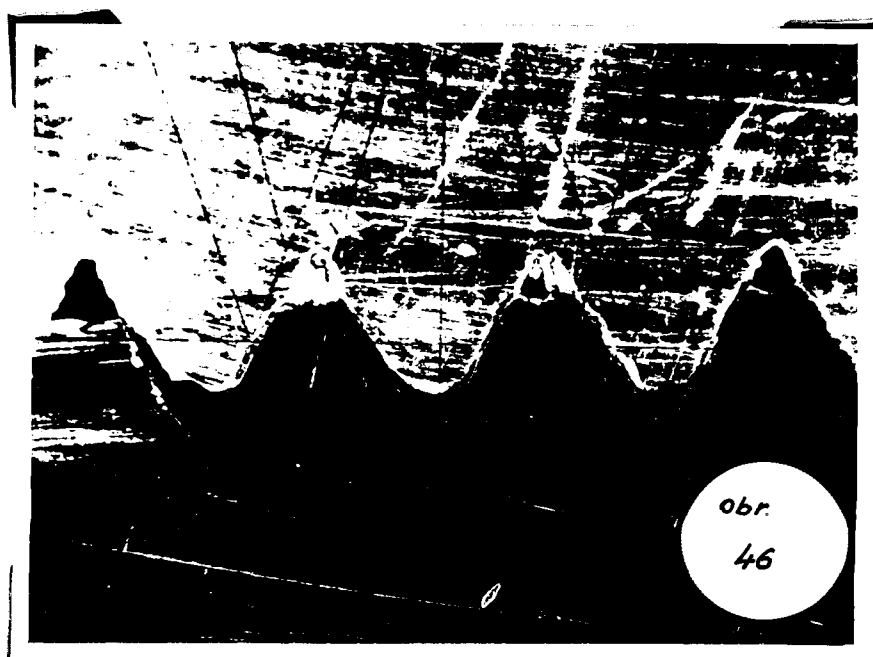
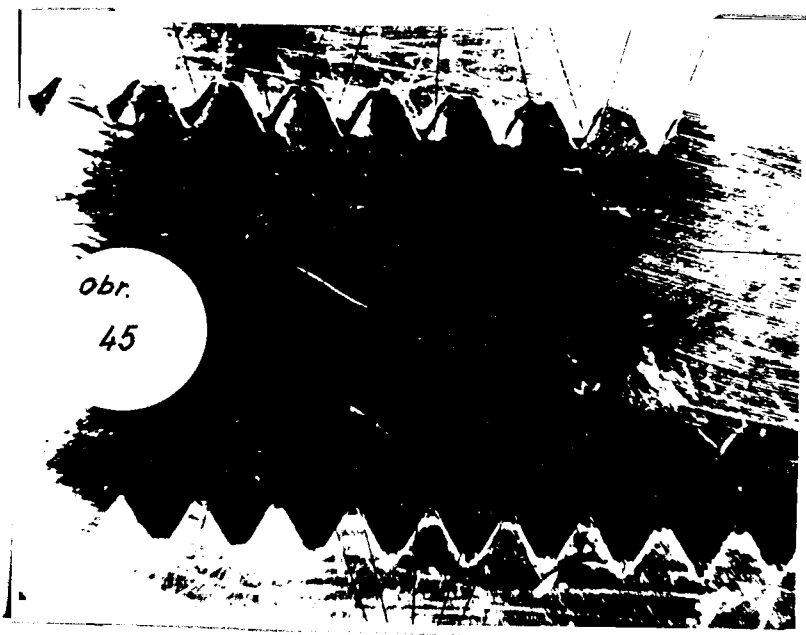
V Š S T
v Liberci

Ověřovací zkouška
pevných závitových spojů v bloku
motoru 1000 MB

DP-ST-9

12.12.1964

Listů 89 List 74



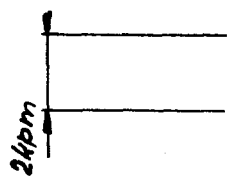
V S S T
v Liberci

Ověřovací zkouška
pevných závitových spojů v bloku
motoru 1000 MB

DP-ST-9

12.12.1964

Listů 89 List 75



8
7
6
5
4
3
2
1
0

2kpm

0

-1
-2
-3
-4
-5
-6
-7

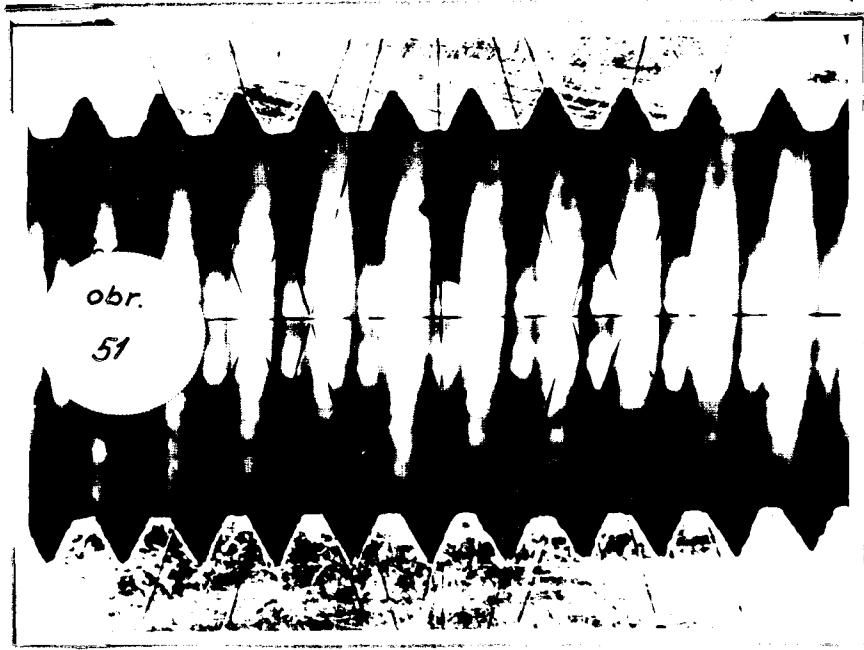
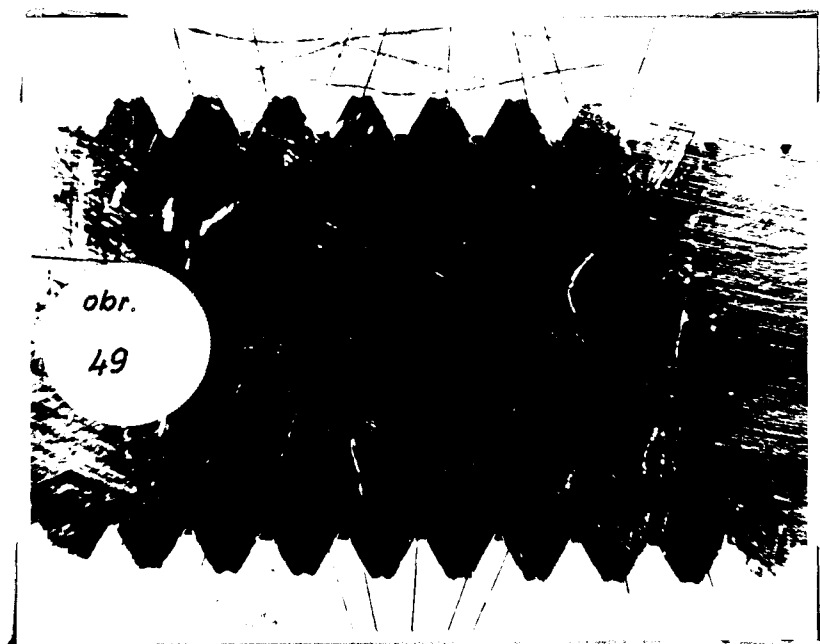
V S S T
v Liberci

Ověřovací zkouška
pevných závitových spojů v bloku
motoru 1000 MB

DP-ST-9

12.12.1964

Listů 89 List 76



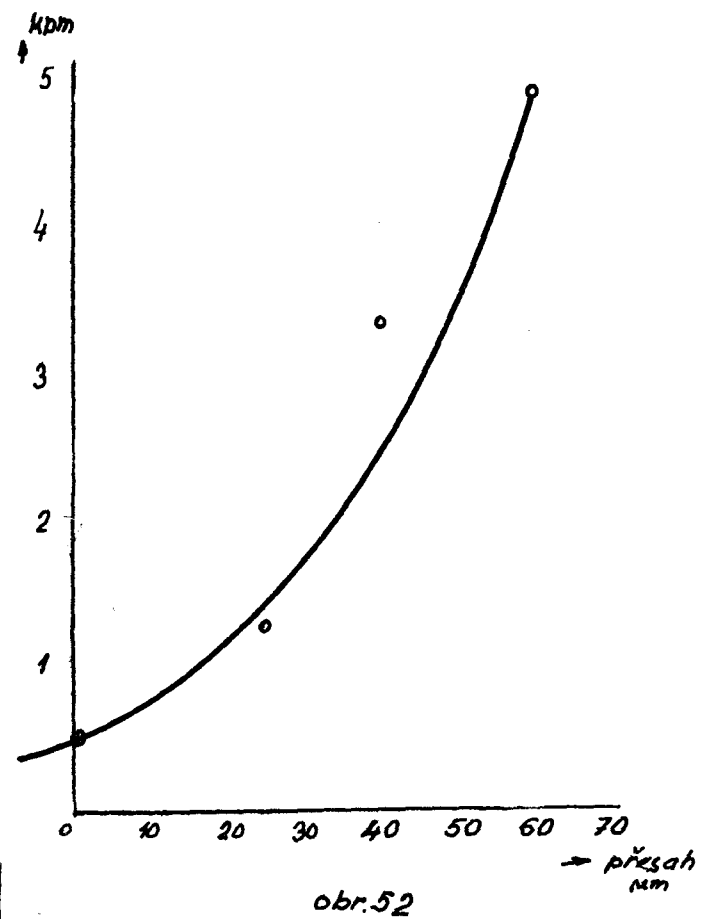
V Š S T
v Liberci

Ověřovací zkouška
pevných závitových spojů v bloku
motoru 1000 MB

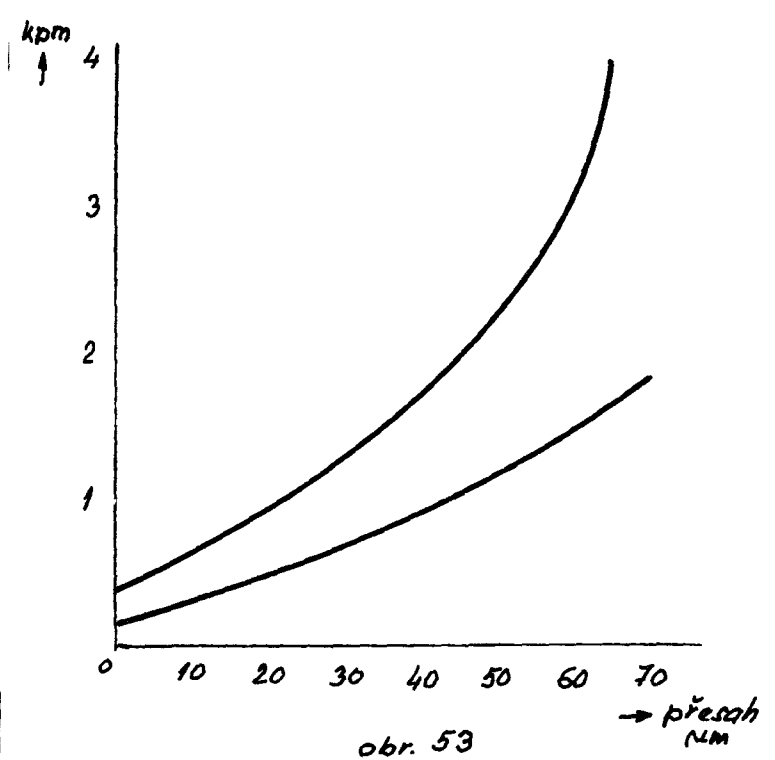
DP-ST-9

12.12.1964

Listů 89 List 77



obr. 52



obr. 53

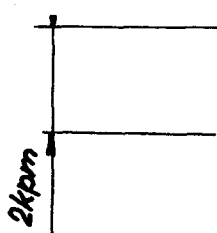
V Š S T
v Liberci

Ověřovací zkouška
pevných závitových spojů v bloku
motoru 1000 MB

DP-ST-9

12.12.1964

Listů 89 List 78

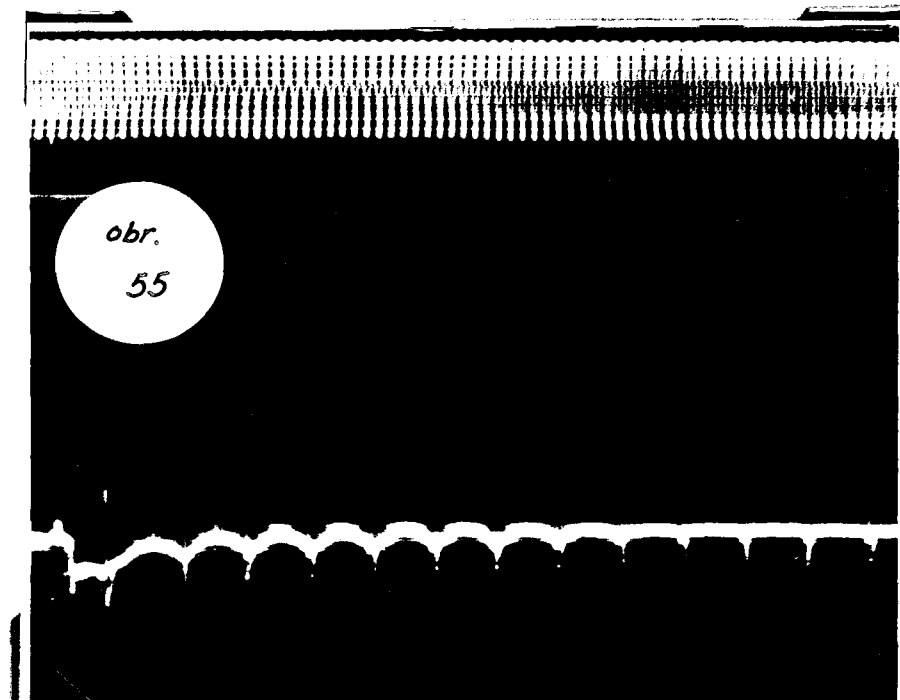


1

0

obr.

55



V S S T
v Liberci

Ověřovací zkouška
pevných závitových spojů v bloku
motoru 1000 MB.

DP-ST-9

12.12.1964

Listů 89 List 79

obr.

56

obr.

57

V S S T
v Liberci

Ověřovací zkouška
pevných závitových spojů v bloku
motoru 1000 MB

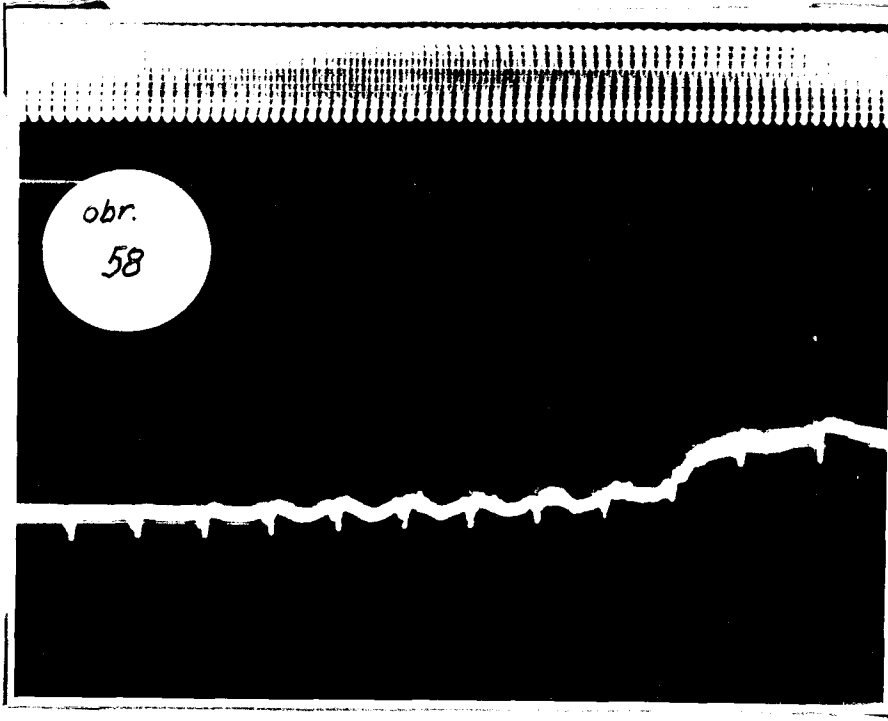
DP-ST-9

12.12.1964

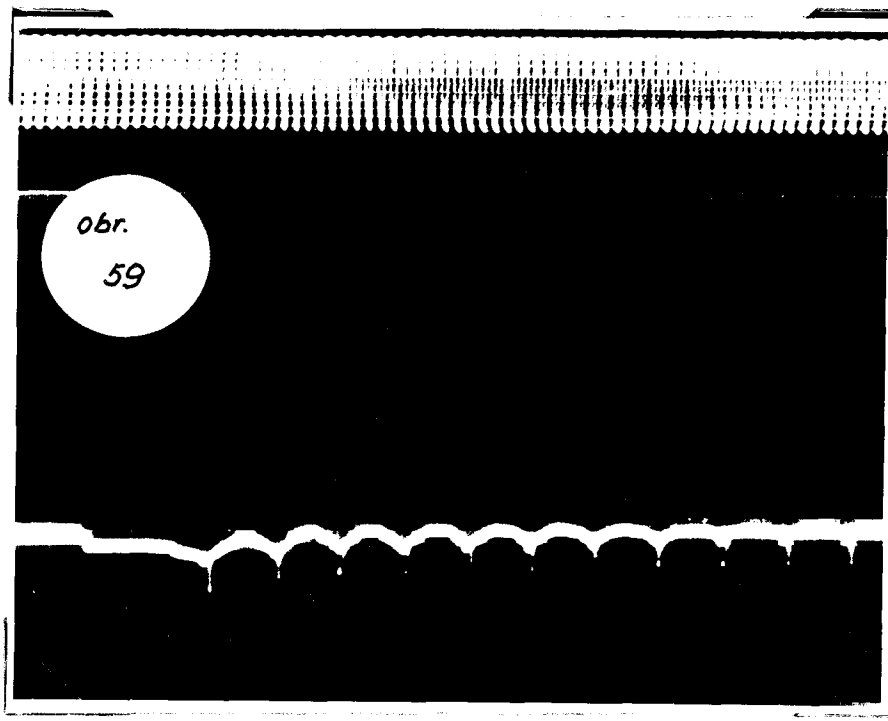
Listu 89

List 80

obr.
58



obr.
59



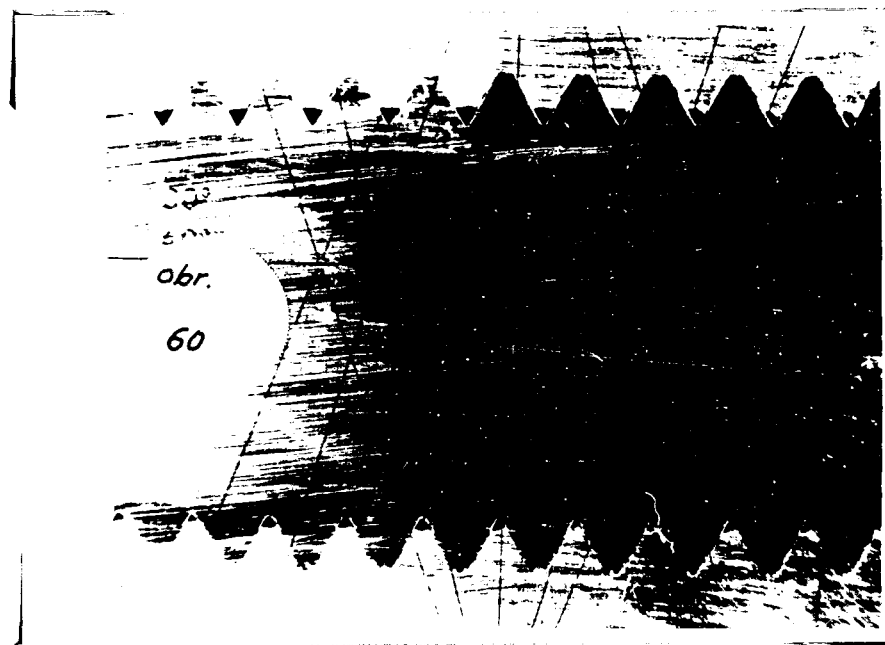
V S S T
v Liberci

Ověřovací zkouška
pevných závitových spojů v bloku
motoru 1000 MB

DP-ST-9

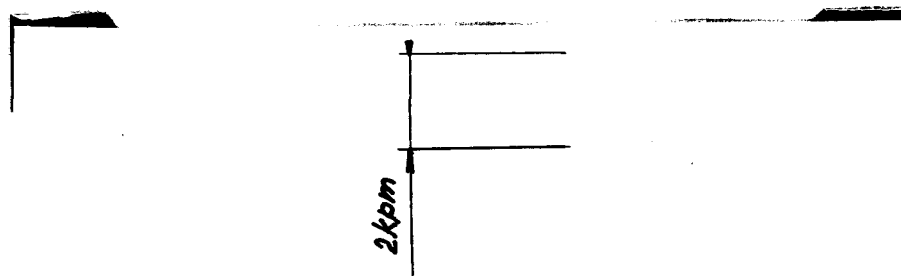
12.12.1964

Listů 89 List 81



60

obr.



1

0

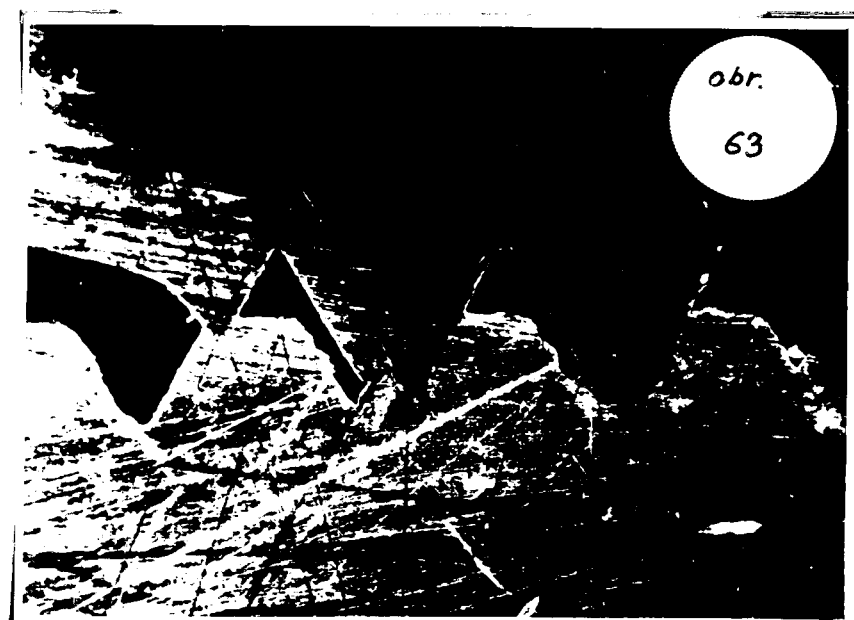
V Š S T
v Liberci

Ověřovací zkouška
pevných závitových spojů v bloku
motoru 1000 MB

DP-ST-9

12.12.1964

Listů 89 List 82



V S S T
v Liberci

Ověřovací zkouška
pevných závitových spojů v bloku
motoru 1000 MB

DP - ST - 9

12.12.1964

List 89

List 83

2 kpm

3
2
1
0



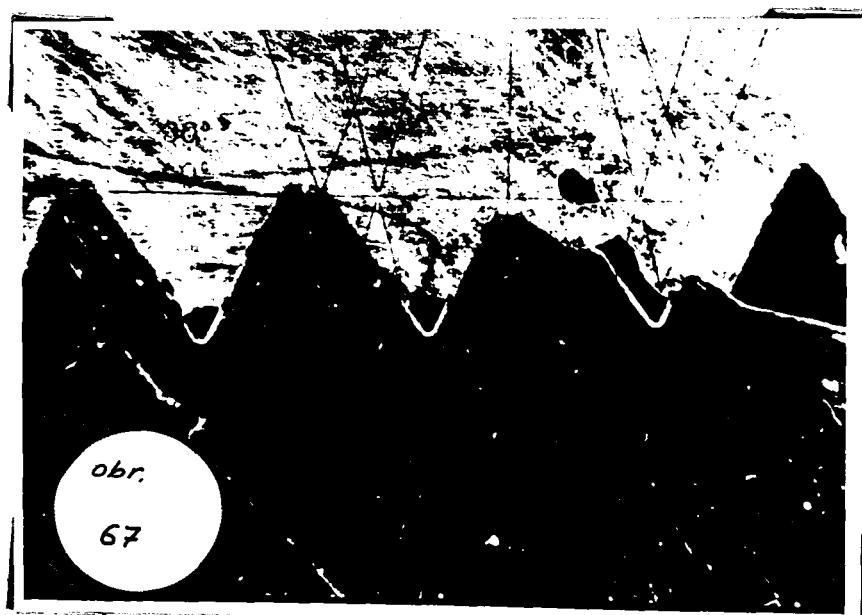
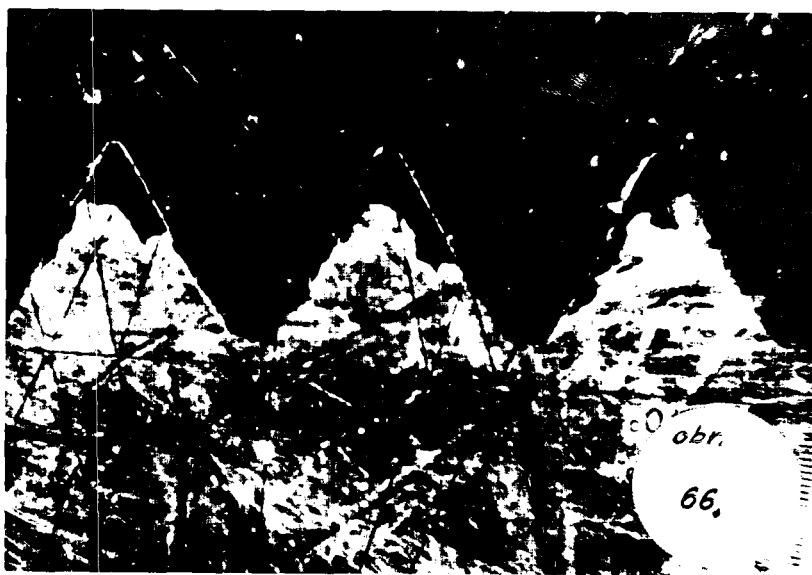
V S S T
v Liberci

Ověřovací zkouška
pevných závitových spojů v bloku
motoru 1000 MB

DP-ST-9

12.12.1964

Listu 89 List 84



V S S T
v Liberci

Ověřovací zkouška
pevných závitových spojů v bloku
motoru 1000 MB

DP-ST-9

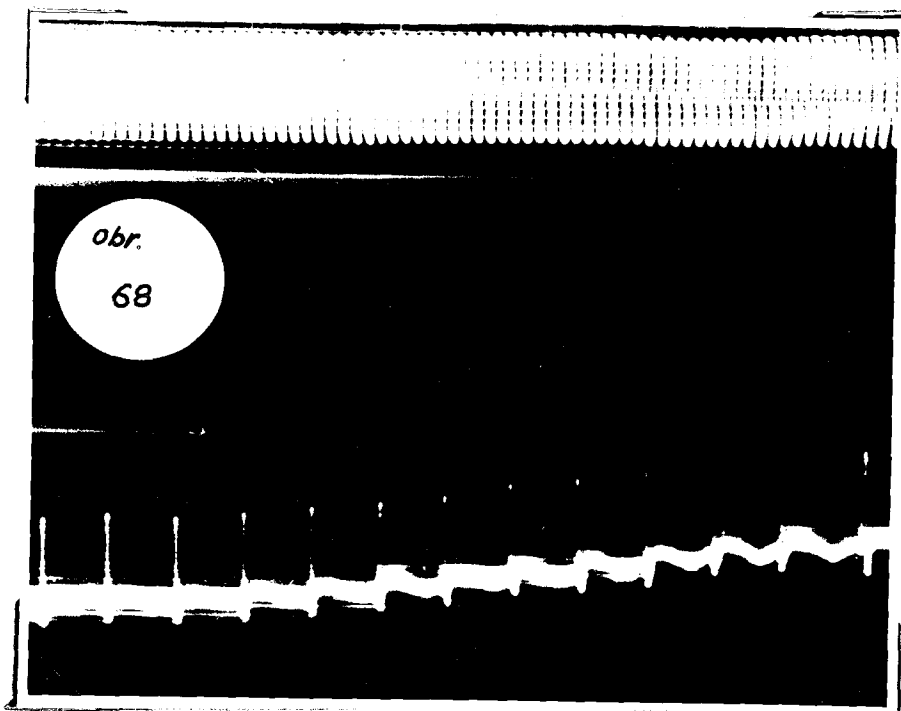
12.12.1964

Listu 89

List 85

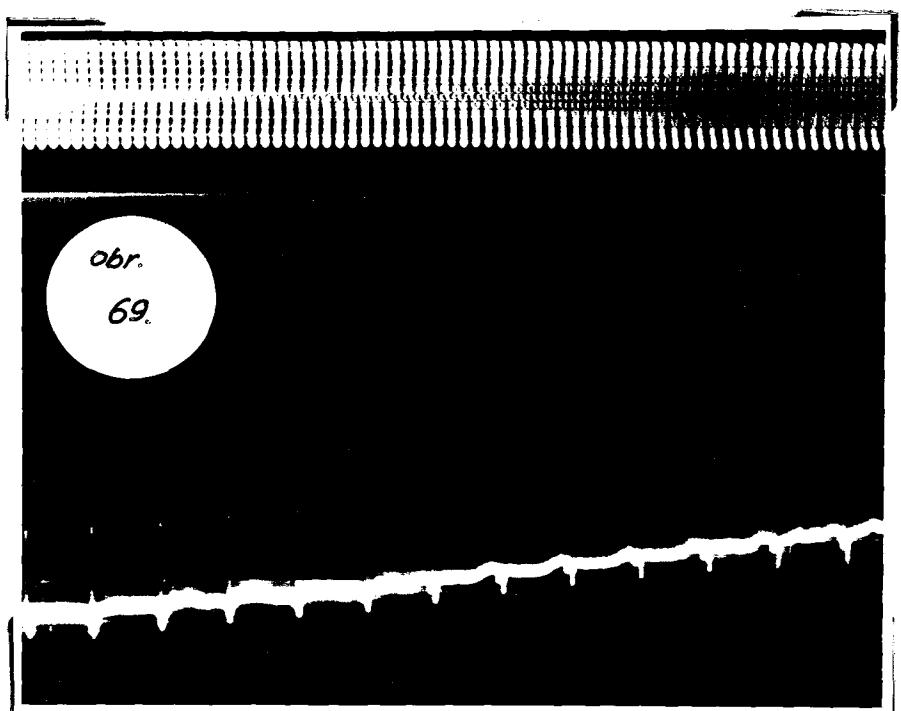
obr.

68



obr.

69.



V S S T
v Liberci

Ověřovací zkouška
pevných závitových spojů v bloku
motoru 1000 MB

DP-ST-9

12.12.1964

Listů 89 List 86

obr.

70



6
5
4
3
2
1
0

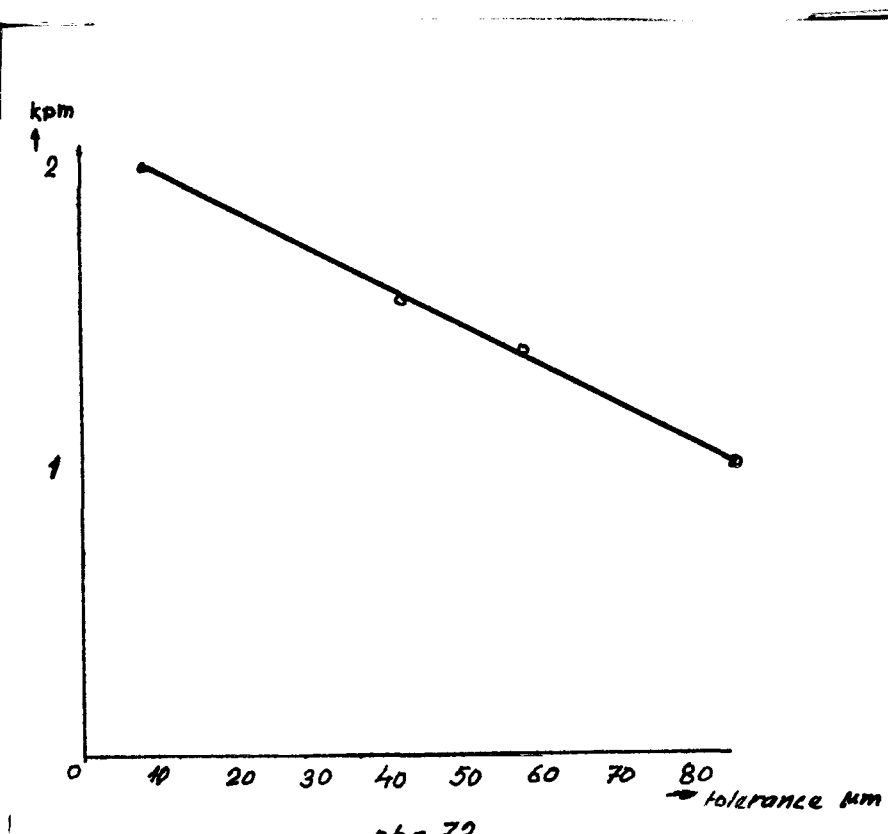
V Š S T
v Liberci

Ověřovací zkouška
pevných závitových spojů v bloku
motoru 1000 MB

DP-ST-9

12.12.1964

Listů 89 List 87



obr. 72

| | | |
|--|---|-------------------|
| VŠST v Liberci | Cvěřovací zkouška pevných závitových spojů v bloku motoru 1000 MB | DP - ST - 9 |
| | | 12. 12. 1964 |
| | | List: 89 List: 88 |
| <u>Použitá literatura</u> | | |
| H. Supík | : Pevné závitové uložení | /1/ |
| A. M. Turičin | : Elektrická měření neelektrických veličin | /2/ |
| B. I. Pikalov | : Pevný závit ocel-ocel | /3/ |
| Normy GOST, ČSN, DIN | | /4/ |
| Podklady ISO | | /5/ |
| J. Draský | : Zavádění doporučení ISO u metrických závitů v ČSN | /6/ |
| A. Seidler | : Lícování závitů a mezní závitové kalibry | /7/ |
| J. Dufek | : Měření řezných sil | /8/ |
| J. Draský | : Zkoušky závitových spojení | /9/ |
| Výpis z komentáře o pevných metrických závitech /vnitřní literatura VŠST Liberec/ | | /10/ |
| Černoch | : Strojně-technická příručka | /11/ |
| H. Wiegand | | |
| H. Illgner | : Berechnung und Gestaltung von Schraubenverbindungen | /12/ |
| Tichý | : Technická příručka | /13/ |
| Hudík | : Zpráva o zkoušce závrtých šroubů | /14/ |
| Hašek | : Tváření kovů | /15/ |
| C. Höschl | : Pružnost a pevnost | /16/ |
| E. Ulrych | | |
| J. Hadrbolec | : Vybrané statí z částí strojových | /17/ |

| | | |
|-------------------|---|---|
| VŠST v Liberci | Ověřovací zkouška pevných závitových spojů v bloku motoru 1000 MB | DP - ST - 9 12. 12. 1964 Listb: 89 List: 89 |
|-------------------|---|---|

O b s a h

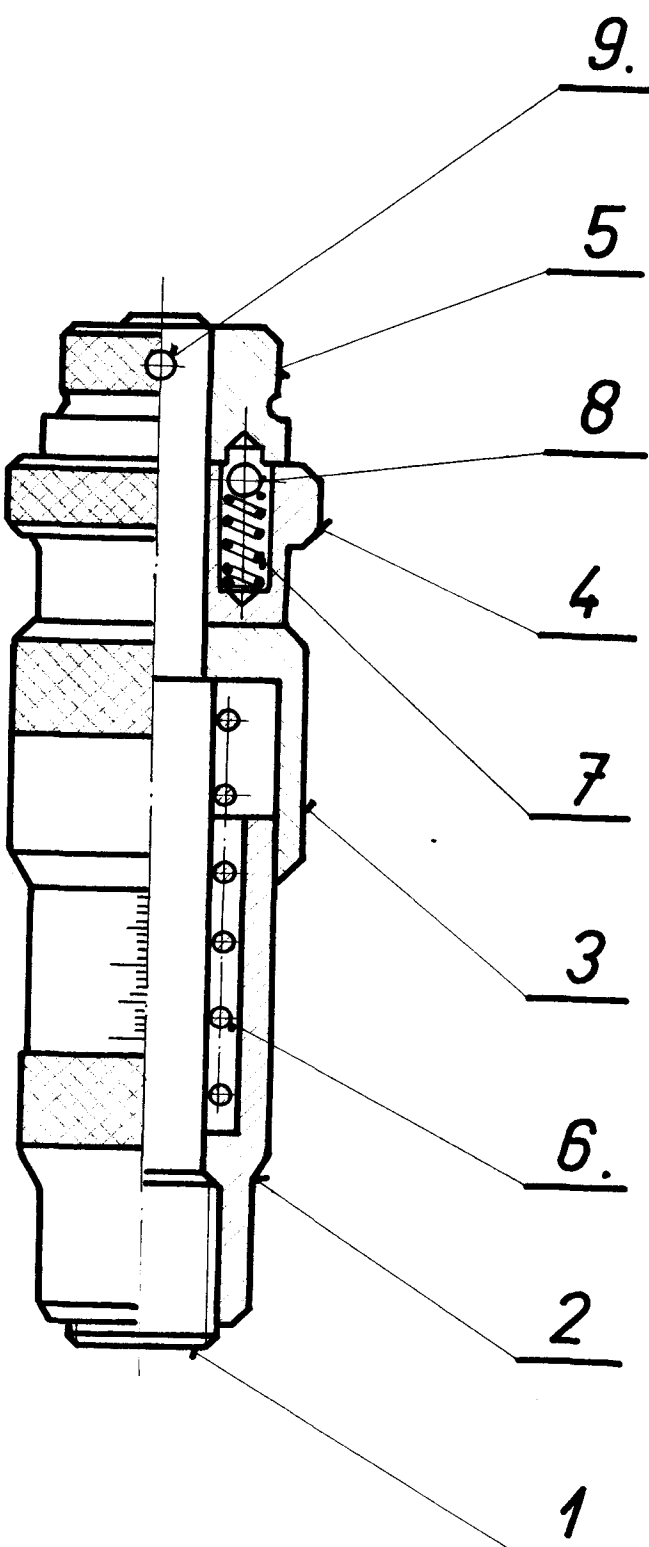
| | strana |
|--|--------|
| Úvod. | 1 |
| Názvosloví. | 2 |
| Hospodářské zdůvodnění řešení pevných závitových spojů. | 3 |
| Používané způsoby pevných závitových uložení. | 6 |
| Návrh zkušebního zařízení pro strojní zatahování šroubů, umožňující měření zatahovacích momentů. | 20 |
| Postup práce měření. | 42 |
| Výpočet kroutícího momentu šroubu s přesahem. | 53 |
| Vyhodnocení záznamu. | 59 |
| Obrazová část záznamu. | 70 |
| Použitá literatura. | 88 |

| | | | |
|-------------------|--|-----------|-------|
| VŠST v Liberci | | DP - ST - | |
| | | Listů: | List: |
| | | | |
| | | | |

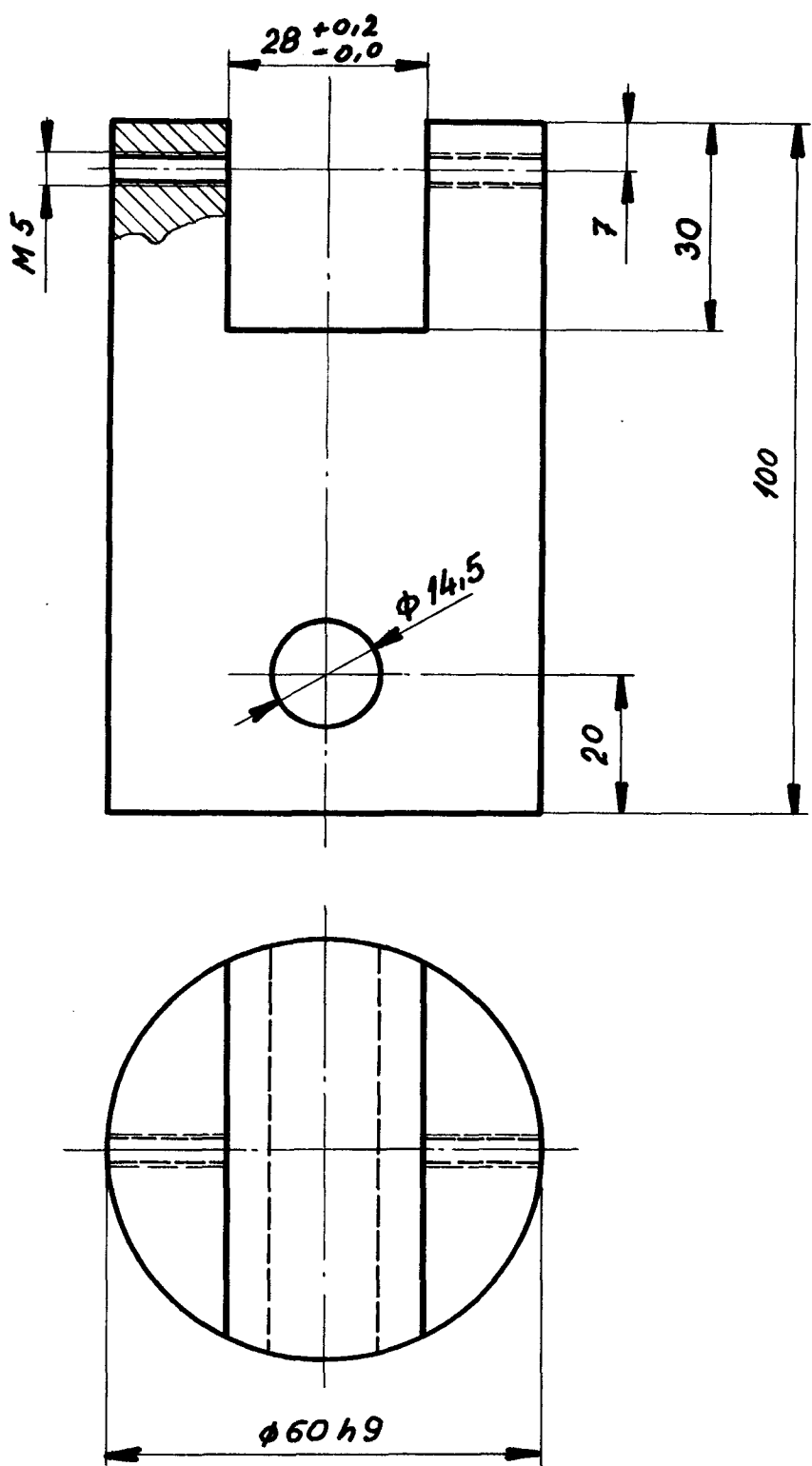
Děkuji všem, kteří mi ochotně pomohli při shromažďování podkladů pro vypracování diplomní práce.

Zvláště děkuji s. doc. ing. J.Draskému za vedení při vypracování úkolu, s.Gahutovi za pomoc při práci s elektrickými měřicími přístroji a s. Hudíkovi za pomoc při studování provozních podmínek v AZNP Mladá Boleslav.

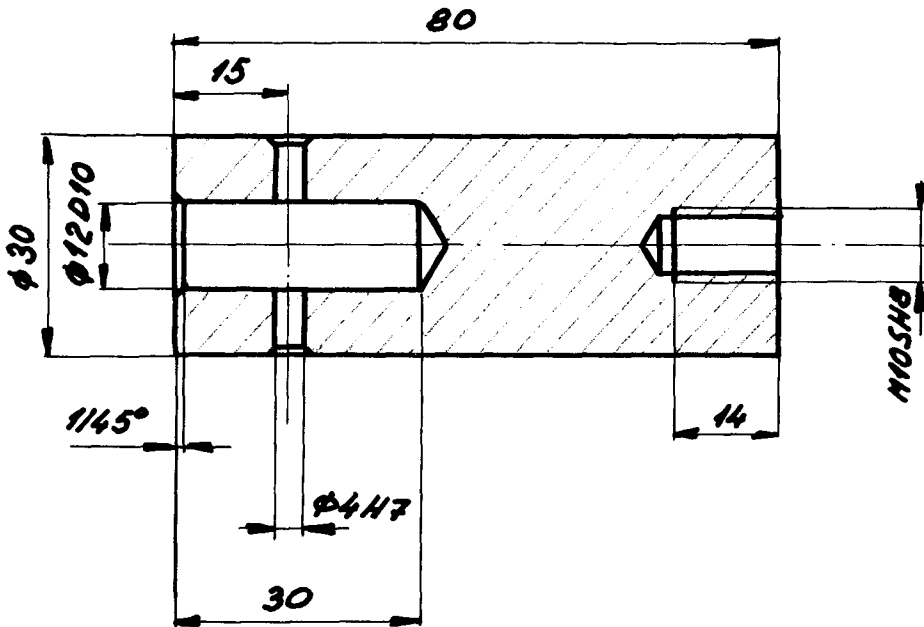
Jiří Macousek



| čistá váha kg | hrubá váha kg | číslo odpadu | Rozměry materiálu neb číslo modelu | Materiál | | | | |
|------------------|------------------|-----------------|---------------------------------------|----------|--------------|------|-------------|---|
| Mářítko | Kreslil | J. VÁCLAV | Norm. referent | | | | | e |
| NENÍ | Překoušel | | Výrobní referent | | | | | d |
| | Schválil | | Datum 8.12.64 | | | | | c |
| | | Type | | | Změna | Dat. | Pod- | b |
| | | druh stroje | prov. | vol. | okupina | | | a |
| | | | | | Starý výkres | | Nový výkres | |
| | | MĚŘIDLO | | | | | | |
| | | | | | | V1 | | |



| čistá váha kg | hrubé váha kg | číslo odpadu | Rozměry materiálu neb číslo modelu | Materiál | | | | | | e |
|------------------|------------------|-----------------|---------------------------------------|----------------|-------------|-------|-------------|---------|------------|---|
| Měřítko | Kreslil | J. VÁCLAV | Norm. referent | | | | | | | d |
| 1:1 | Překoušel | | Výrobní referent | | | | | | | c |
| | Schválil | | Datum 9.12.64 | | | | | | | b |
| | | | | Použito u typu | Změna | Dat. | Pod- pis | | a | |
| | | | | Starý výkres | Nový výkres | | | | | |
| | | | | druh stroje | | prov. | vol. | okupina | | |
| NÁSTAVEK | | | | | | | | | V 2 | |

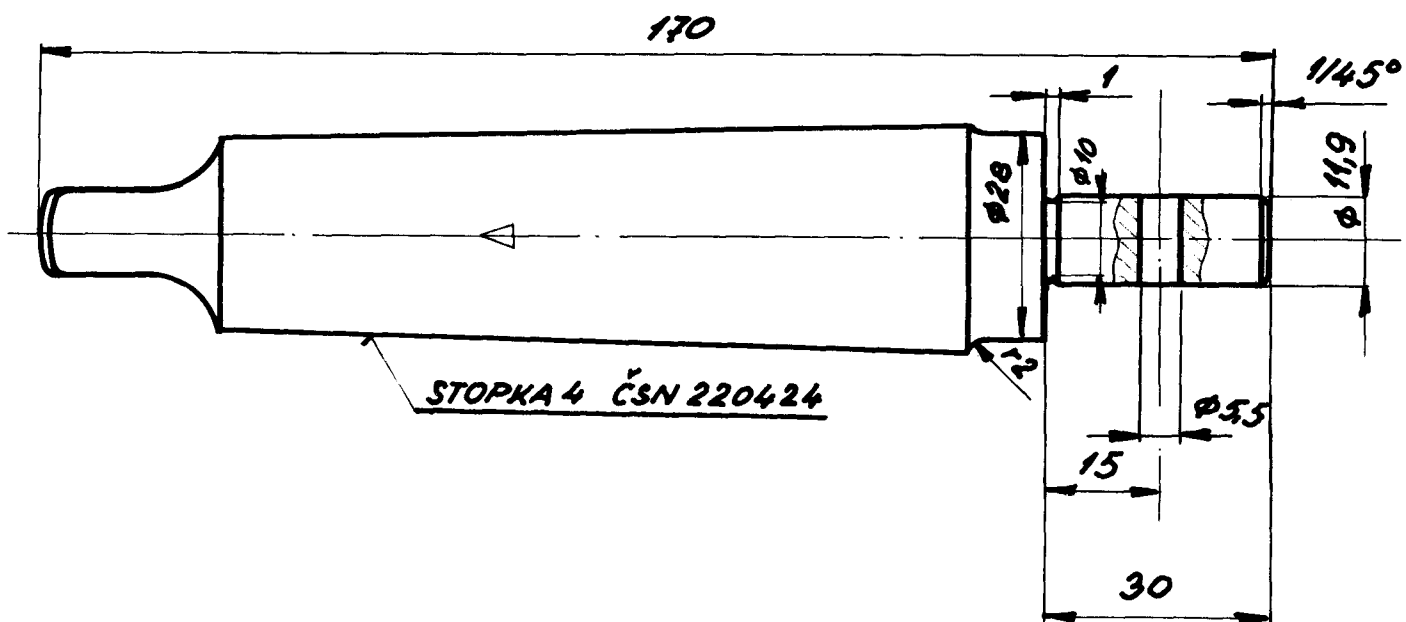


MATERIAL 11600

1:1 J. VÁCLAV

UNAŠEC

V3



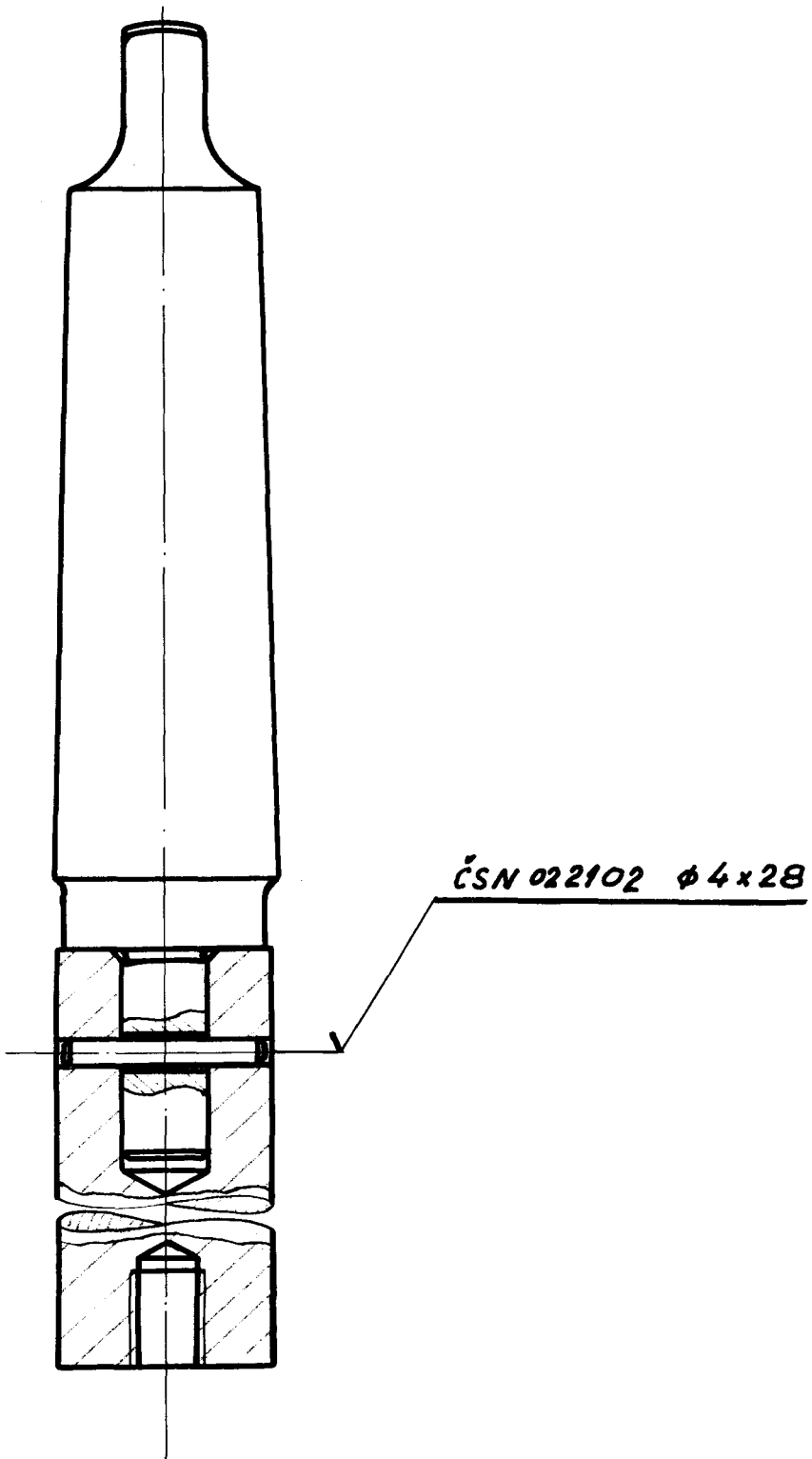
MATERIAL VRTÁK 34

1:1 J. VÁCLAV

STOPKA

ČSN 221140

V3



| | | | | | | | | |
|------------------|------------------|----------------|---------------------------------------|----------------|-------------|------|-------------|---|
| cistá váha kg | hrubá váha kg | cílo odpadu | Rozměry materiálu neb číslo modelu | Materiál | | | | |
| Měřítko | Kreslil | J. VÁCLAV | Norm. referent | | | | | e |
| 1:1 | Prezkoúsel | | Výrobní referent | | | | | d |
| Schvállí | | | Datum 9.12.64 | | | | | c |
| | Typ | | | Použito u typů | Změna | Dat. | Pod- pis | b |
| | druh stroje | prov. | vol. | Starý výkres | Nový výkres | | | a |
| | | | | | | | | |
| TRN S UNASEČEM | | | | V3 | | | | |